

Program EVALPLOT
(Version 2021-1)

by

Dermott E. Cullen
(Present Contact Information)

Dermott E. Cullen
1466 Hudson Way
Livermore, CA 94550
U.S.A.

Tele: 925-443-1911

E.Mail:redcullen1@comcast.net

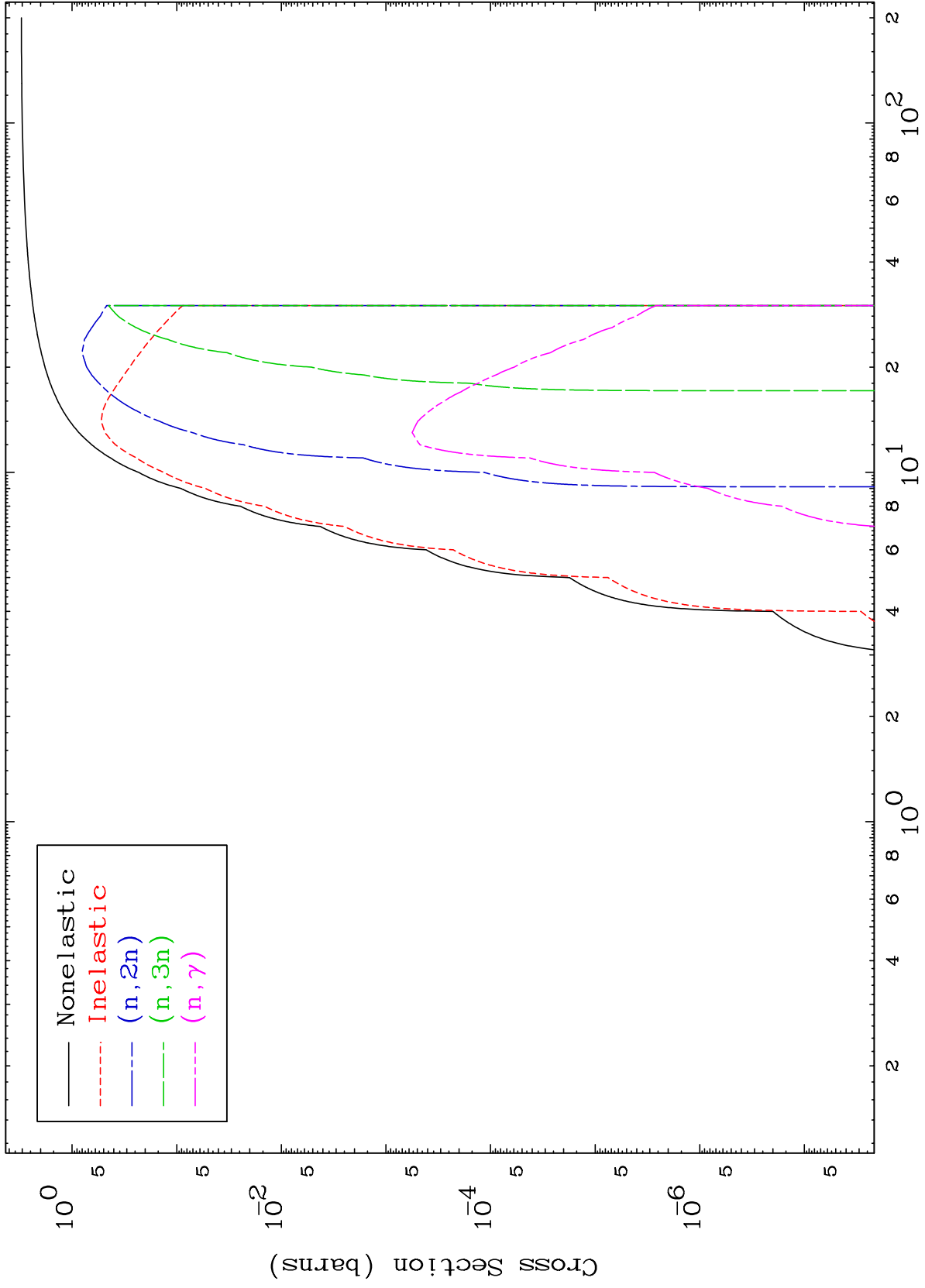
Web:redcullen1.net/HOMEPAGE.NEW

Press Mouse Button to Start

MAT 8089

Deuteron Major
0 Kelvin Cross Sections

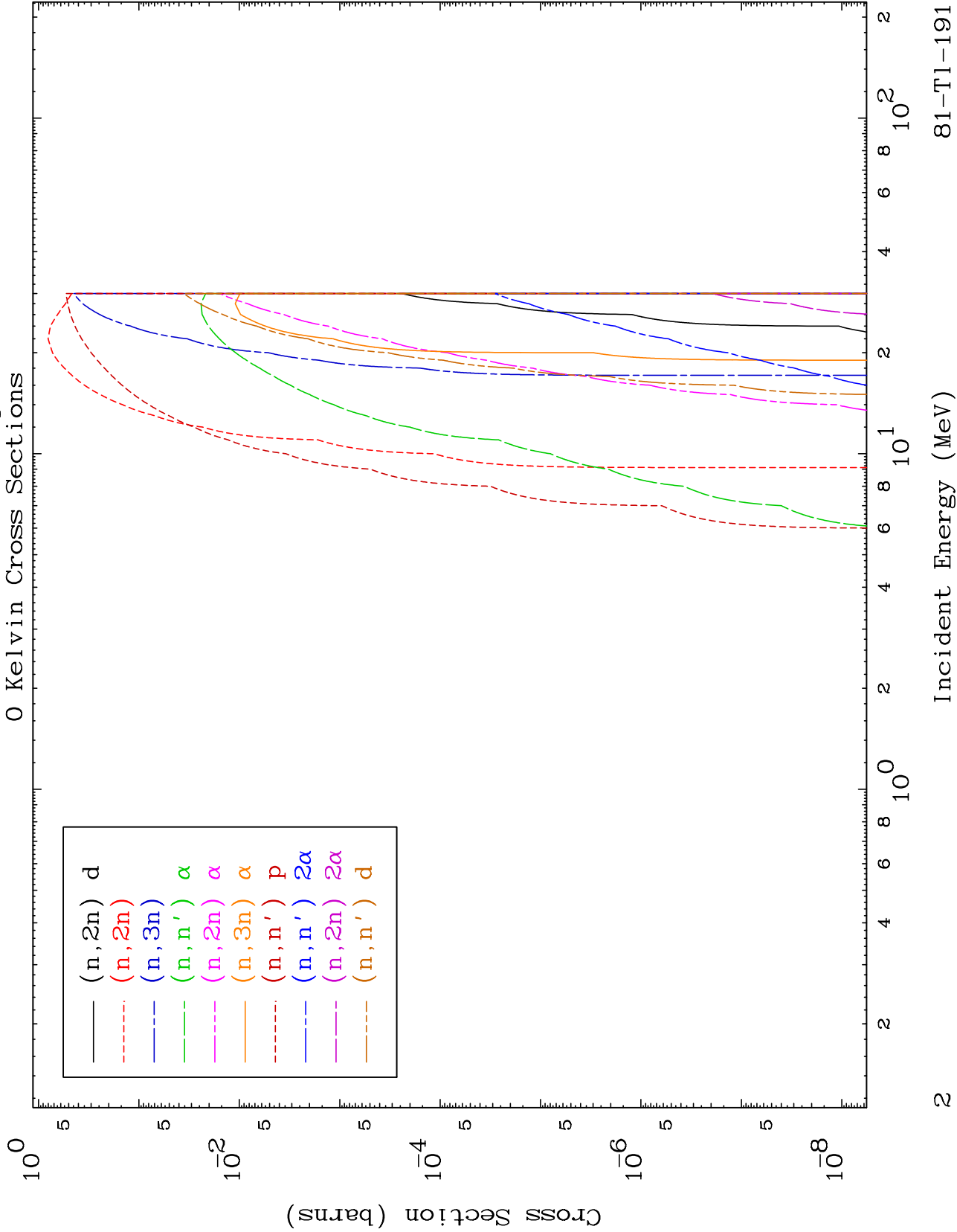
81-Tl-191

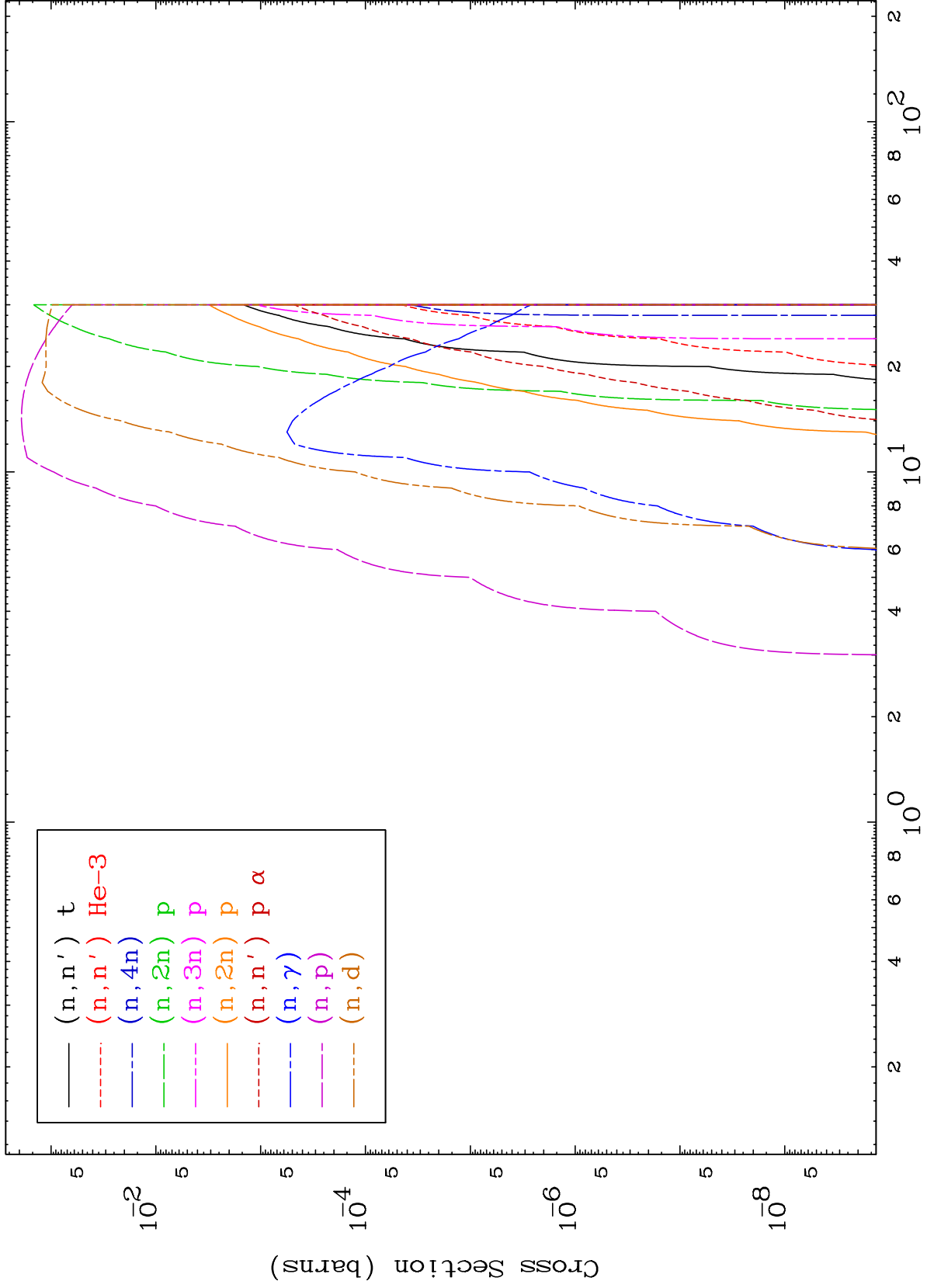


MAT 8089

Deuteron Neutron Absorption
0 Kelvin Cross Sections

81-Tl-191

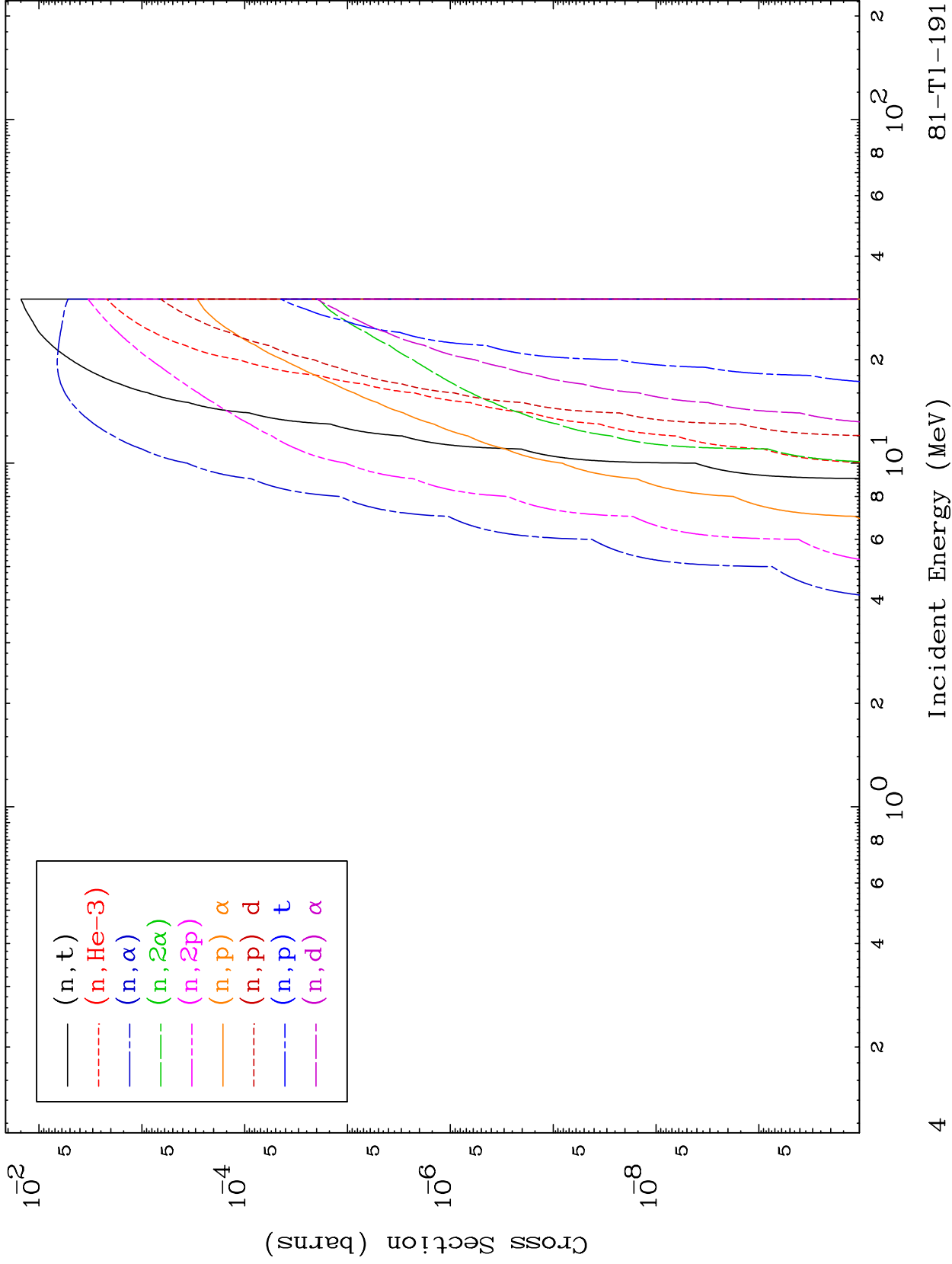




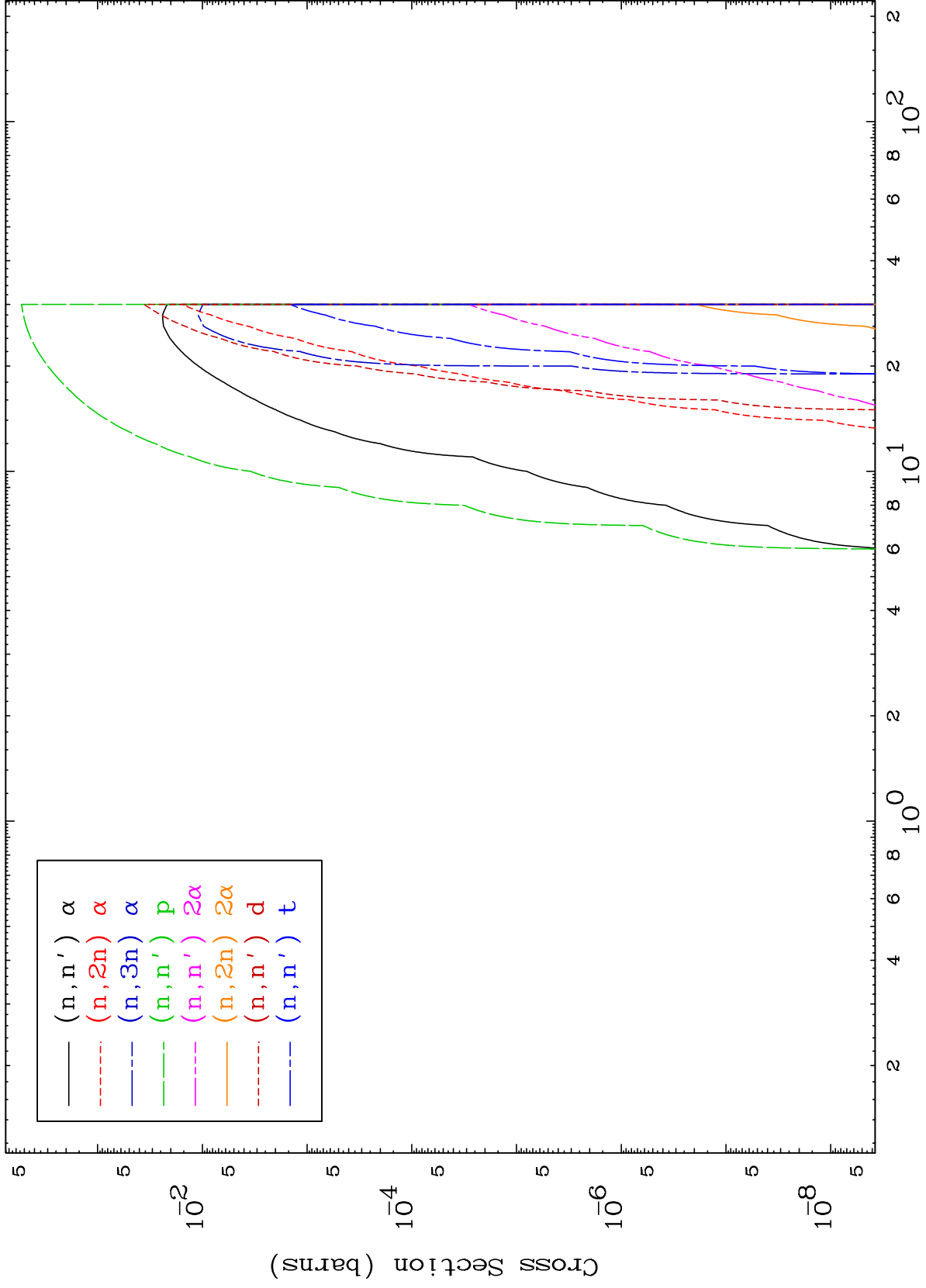
MAT 8089

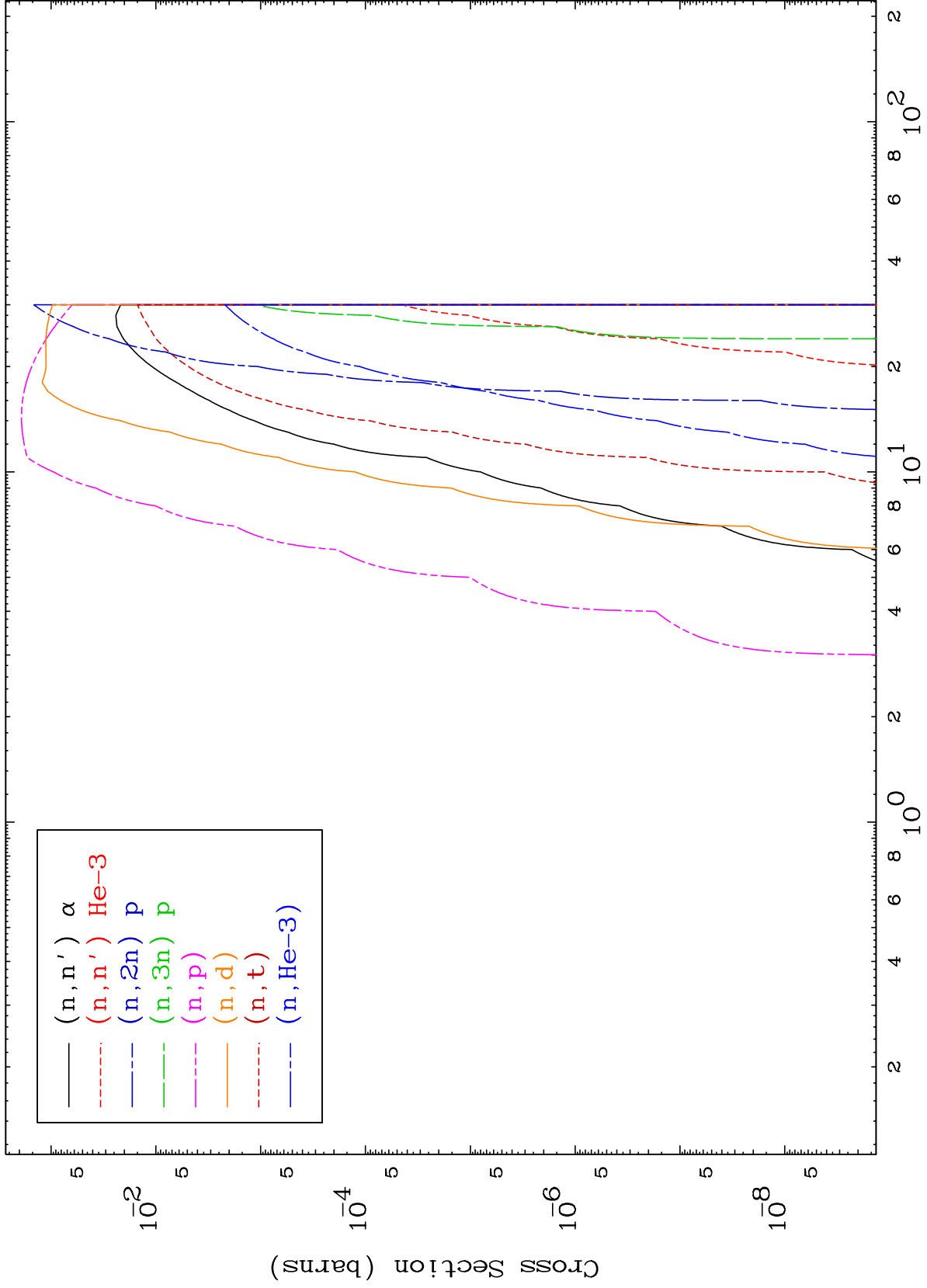
Deuteron Neutron Absorption
0 Kelvin Cross Sections

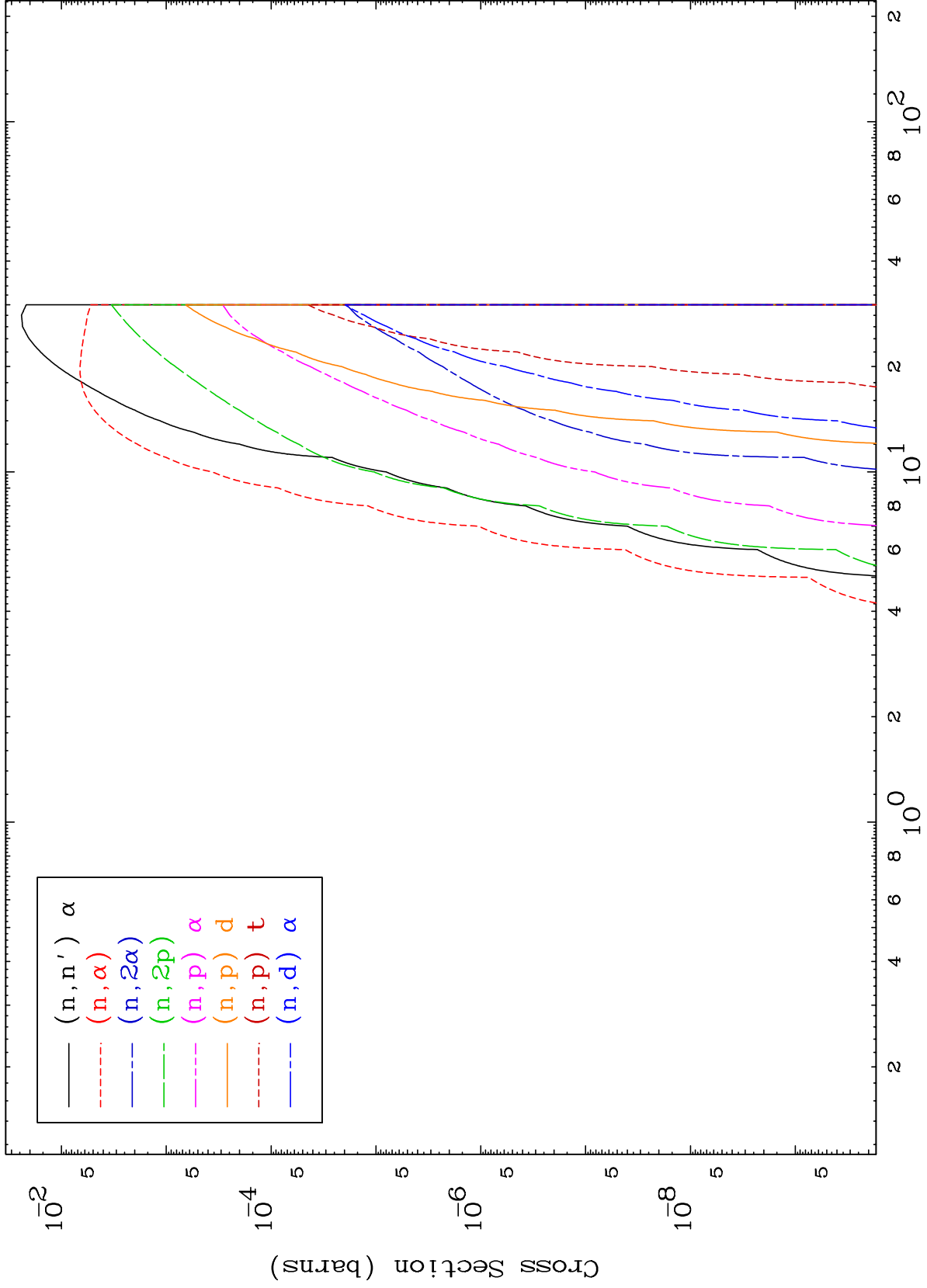
81-Tl-191



81-Tl-191





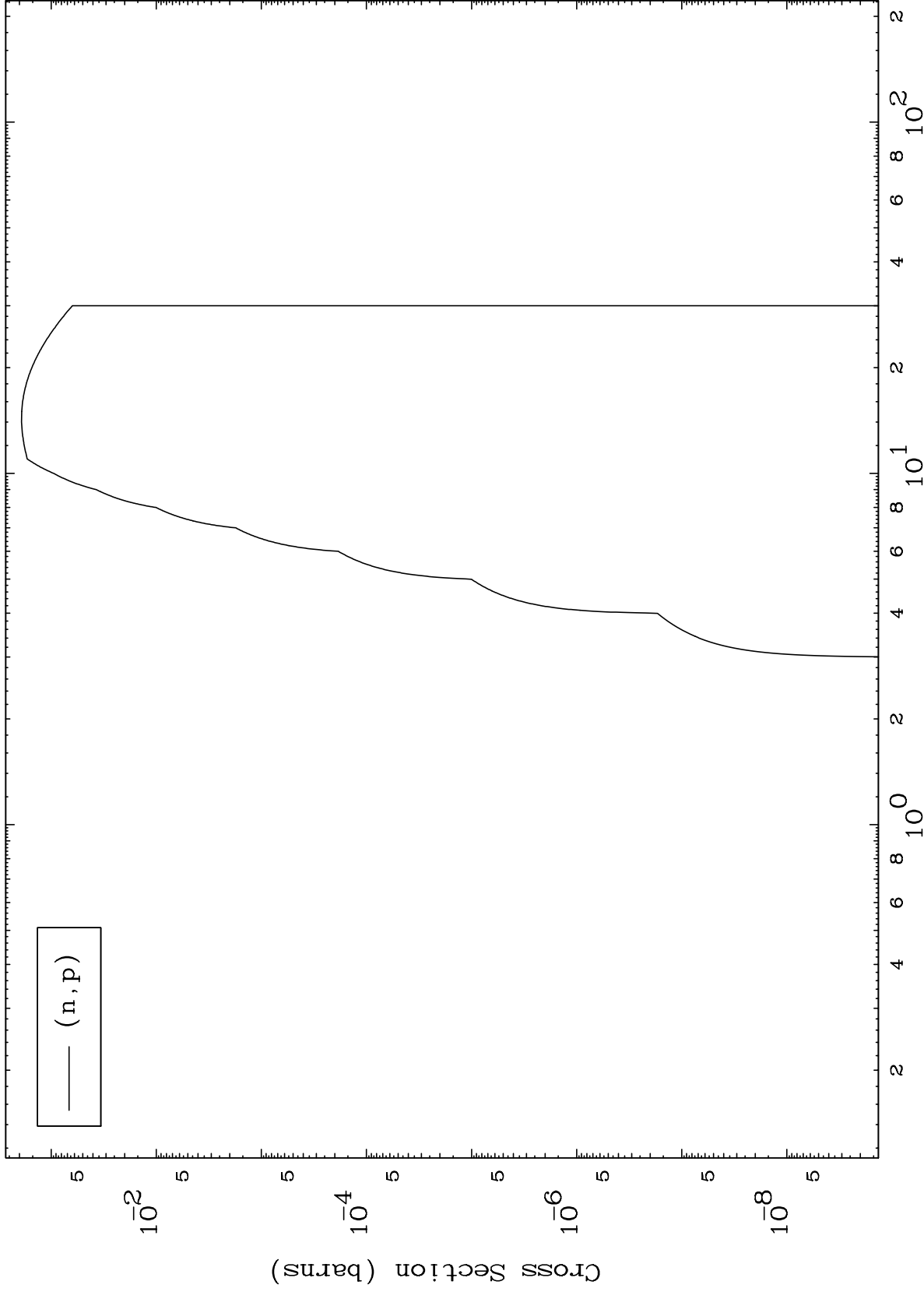


MAT 8089

(d,p) Levels

81-Tl-191

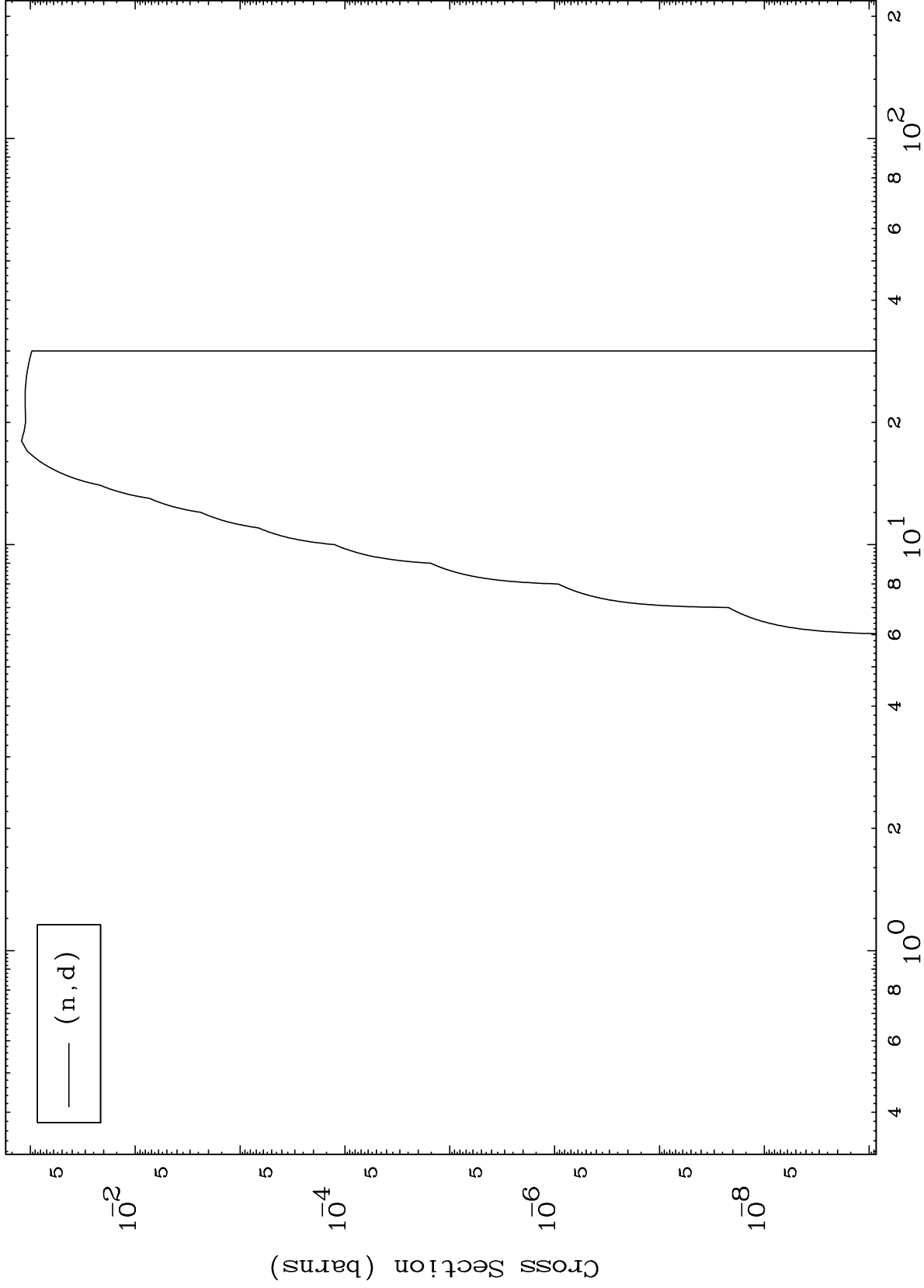
0 Kelvin Cross Sections



MAT 8089

81-Tl-191

(d,d) Levels
0 Kelvin Cross Sections



9

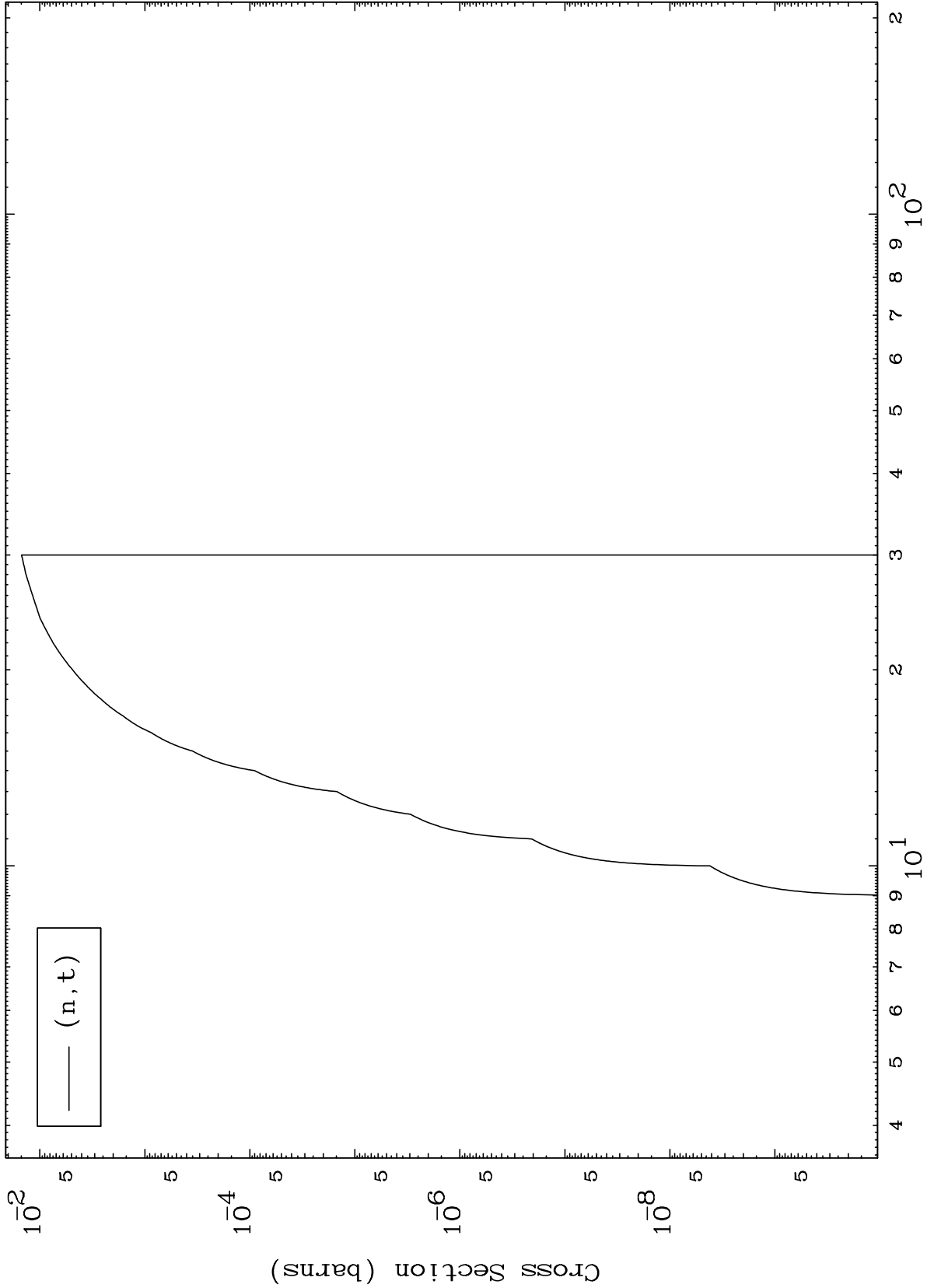
Incident Energy (MeV)

81-Tl-191

MAT 8089

81-Tl-191

(d,t) Levels
0 Kelvin Cross Sections



81-Tl-191

Incident Energy (MeV)

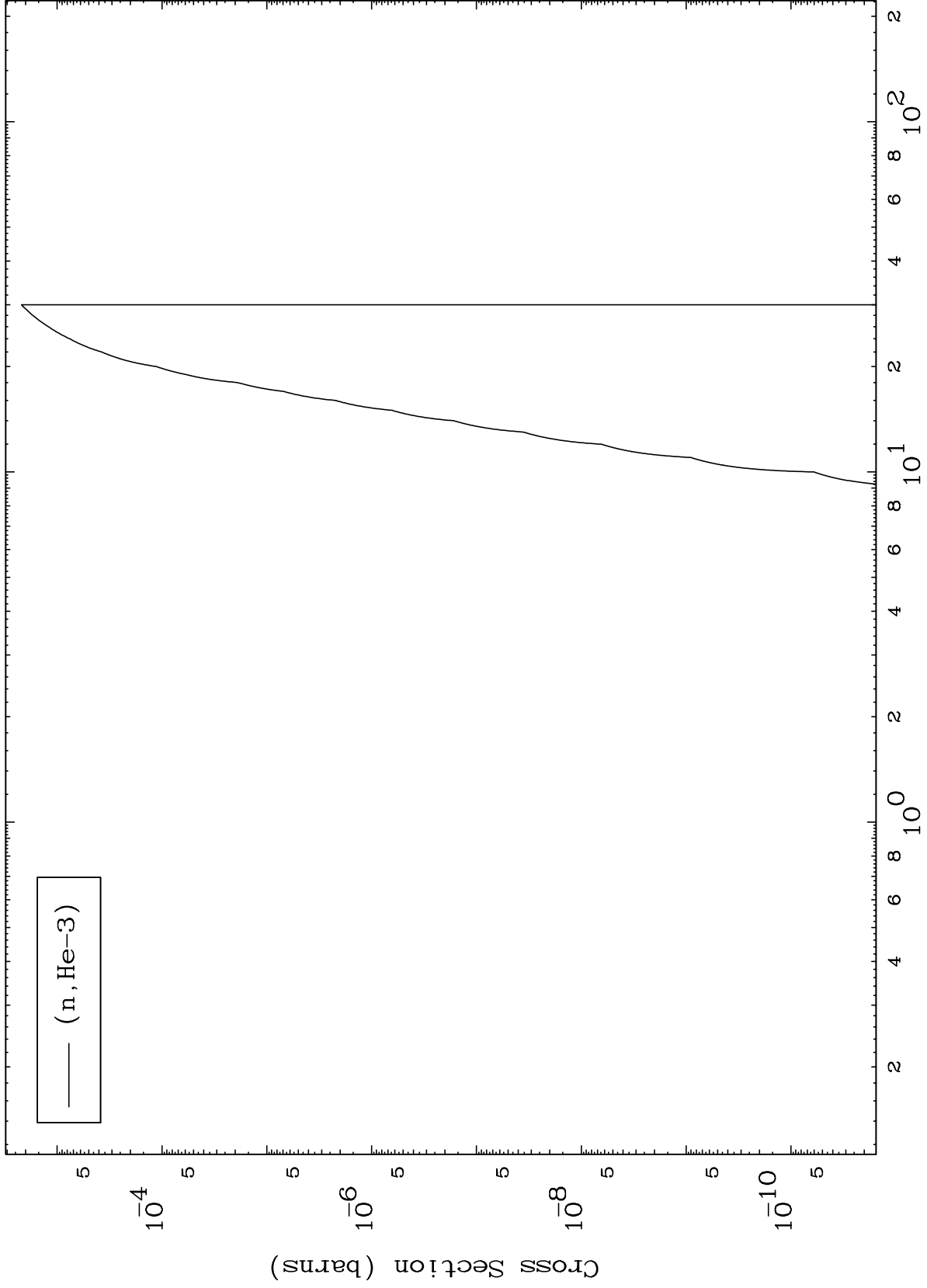
10

MAT 8089

(d,He3) Levels

81-Tl-191

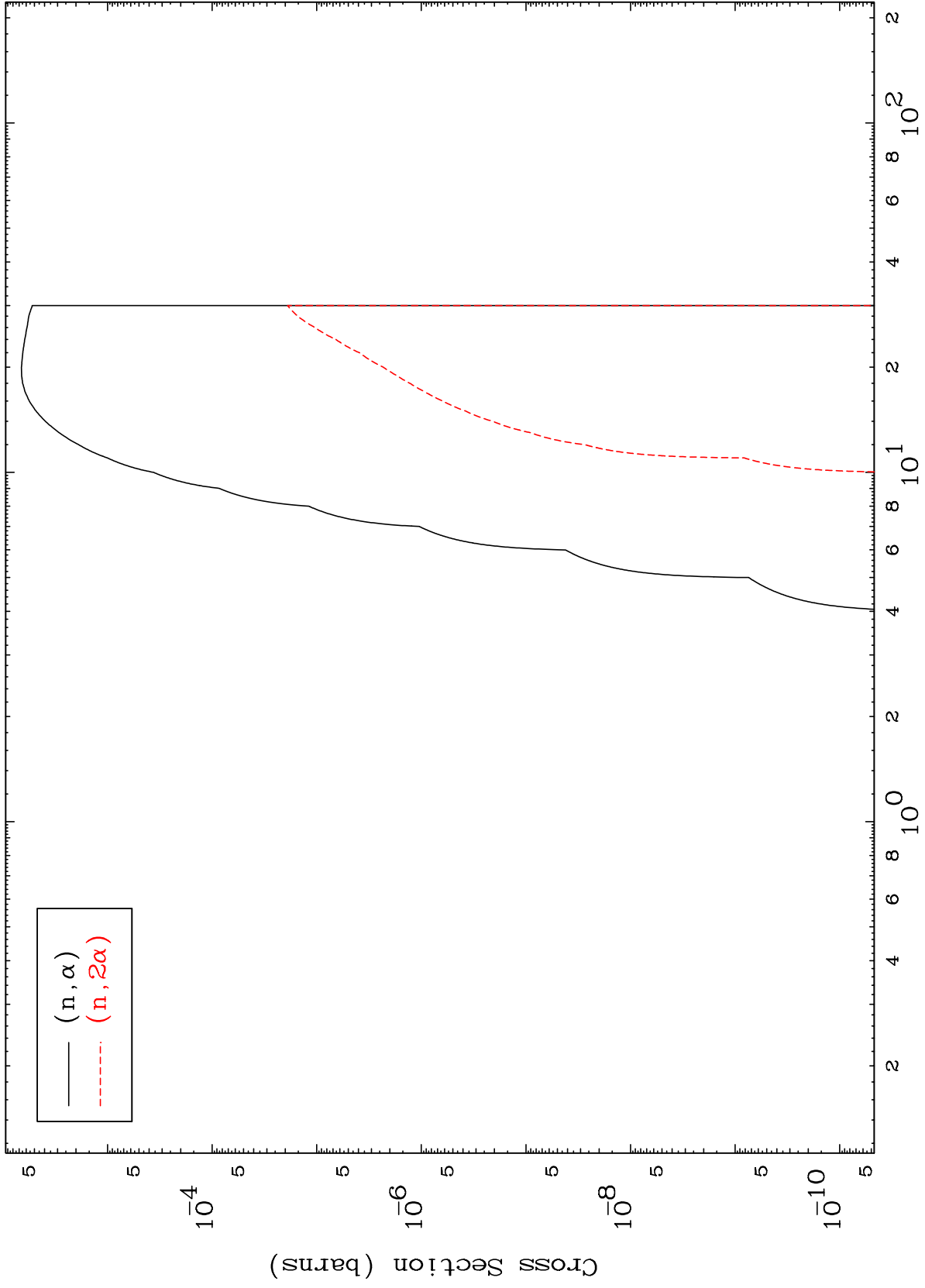
0 Kelvin Cross Sections



MAT 8089

(d, α) Levels
0 Kelvin Cross Sections

81-Tl-191

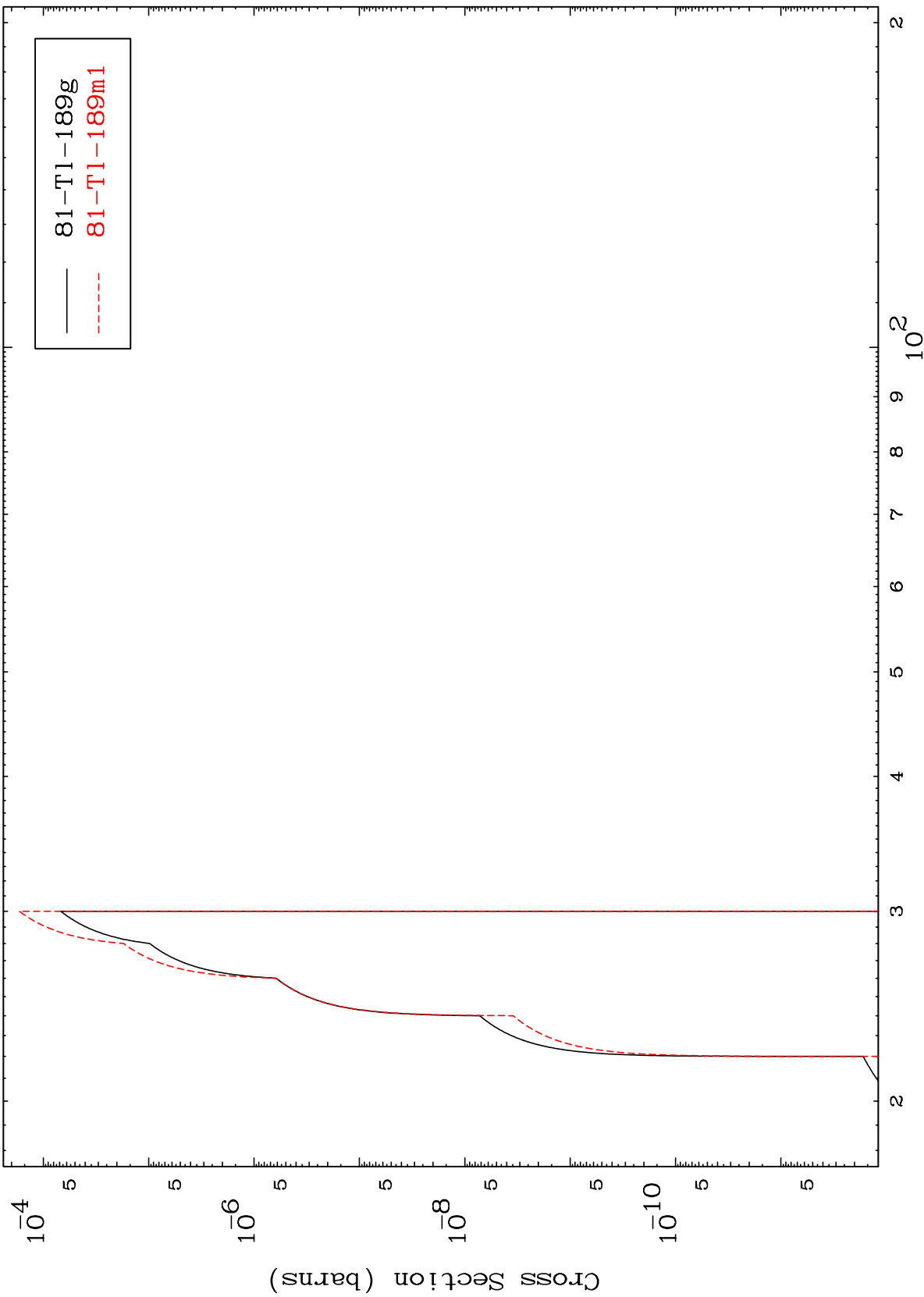


12

Incident Energy (MeV)

81-Tl-191

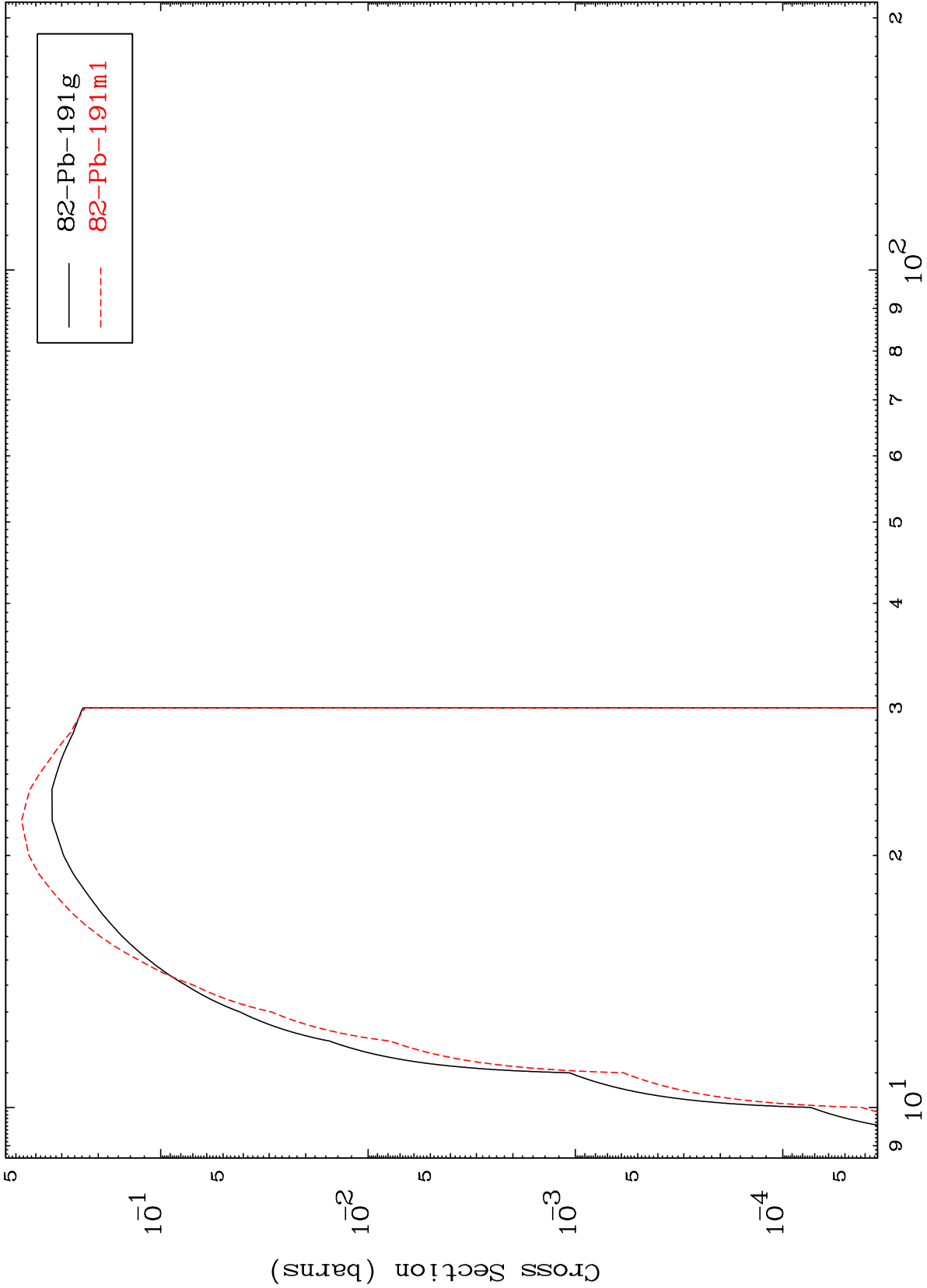
Radionuclide Production Cross Section



MAT 8089

81-Tl-191

(n,2n)
Radionuclide Production Cross Section



81-Tl-191

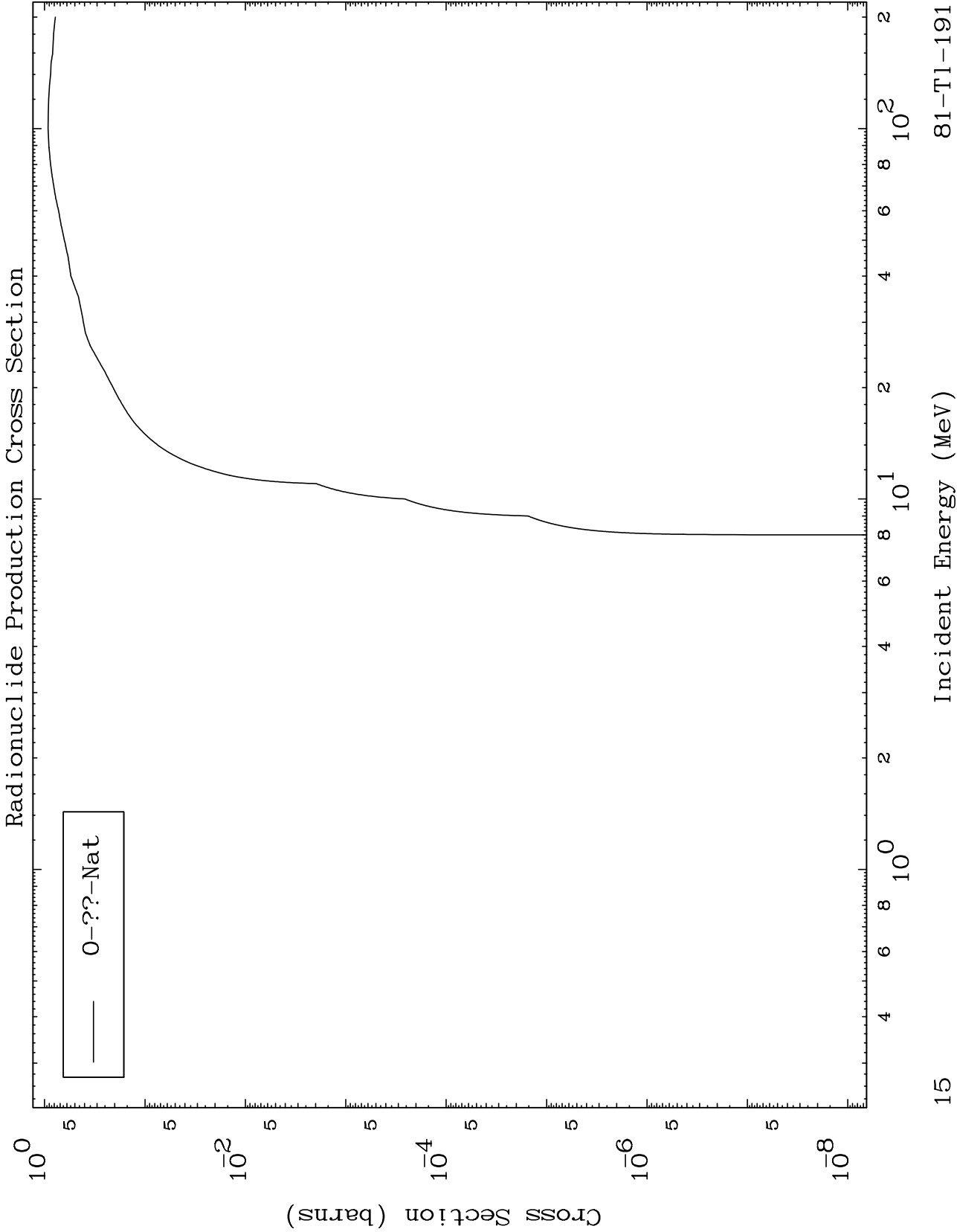
Incident Energy (MeV)

14

MAT 8089

Fission

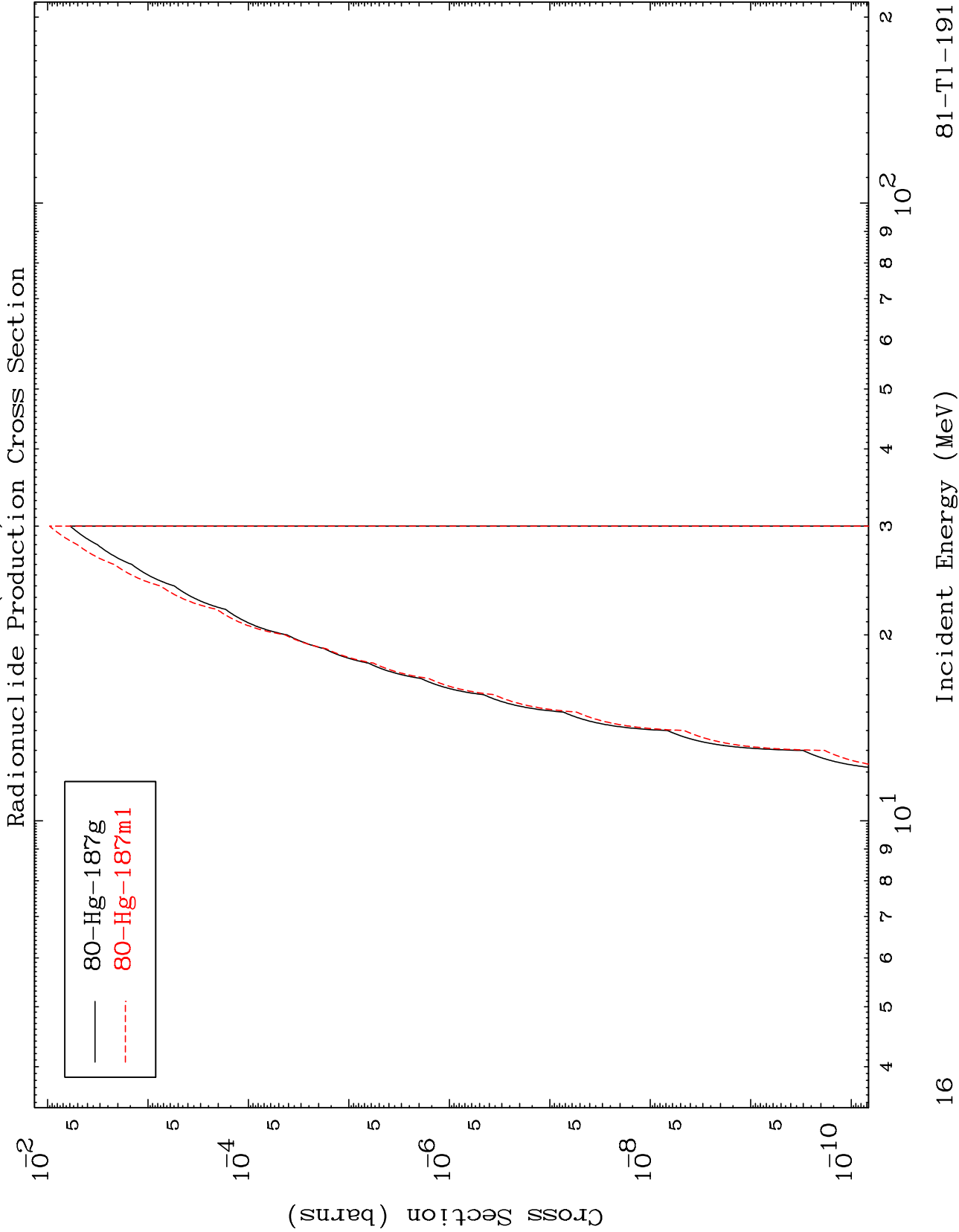
81-Tl-191



MAT 8089

(n,2n) α

81-Tl-191

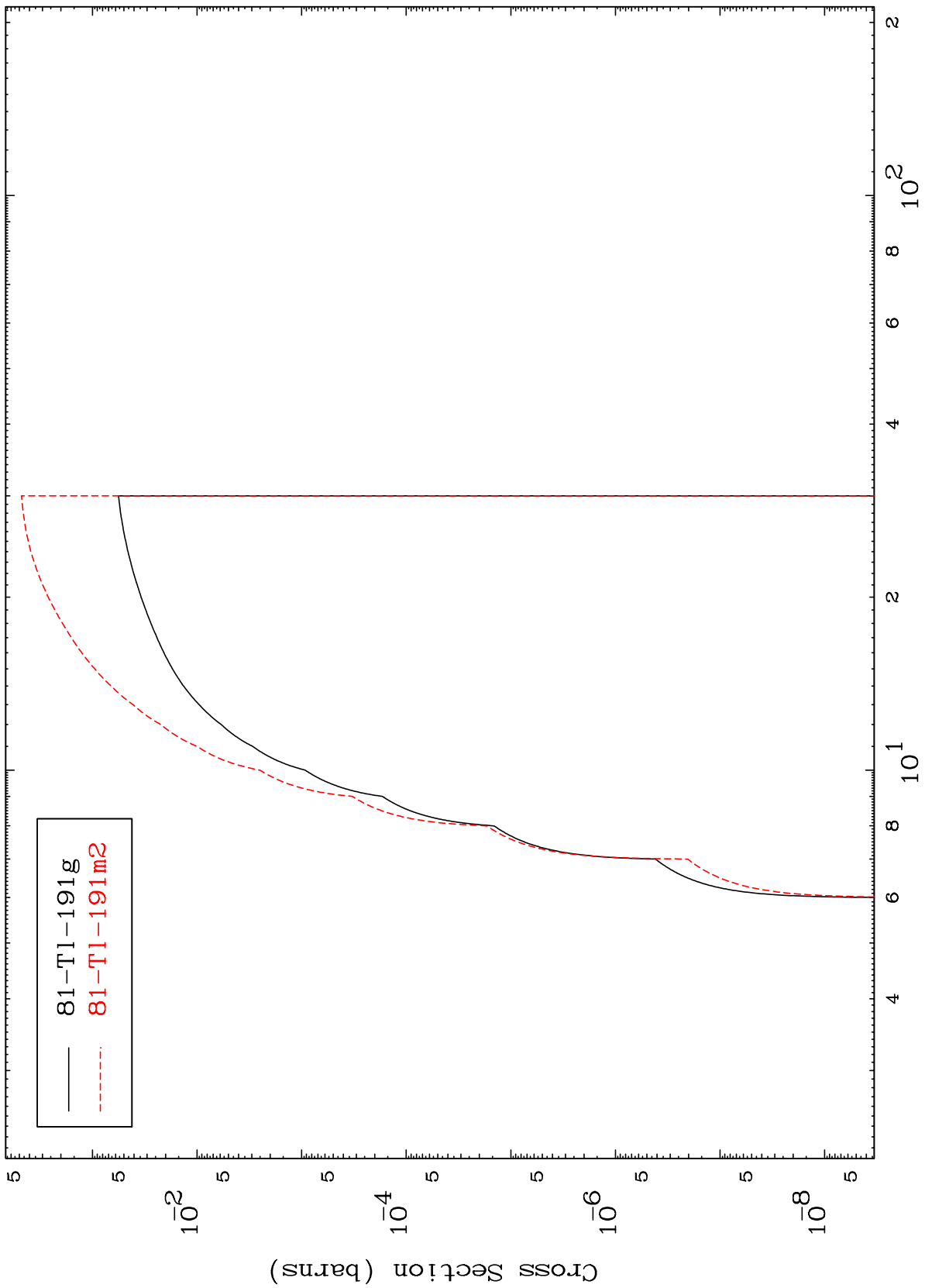


MAT 8089

81-Tl-191

(n,n') p

Radionuclide Production Cross Section



17

81-Tl-191

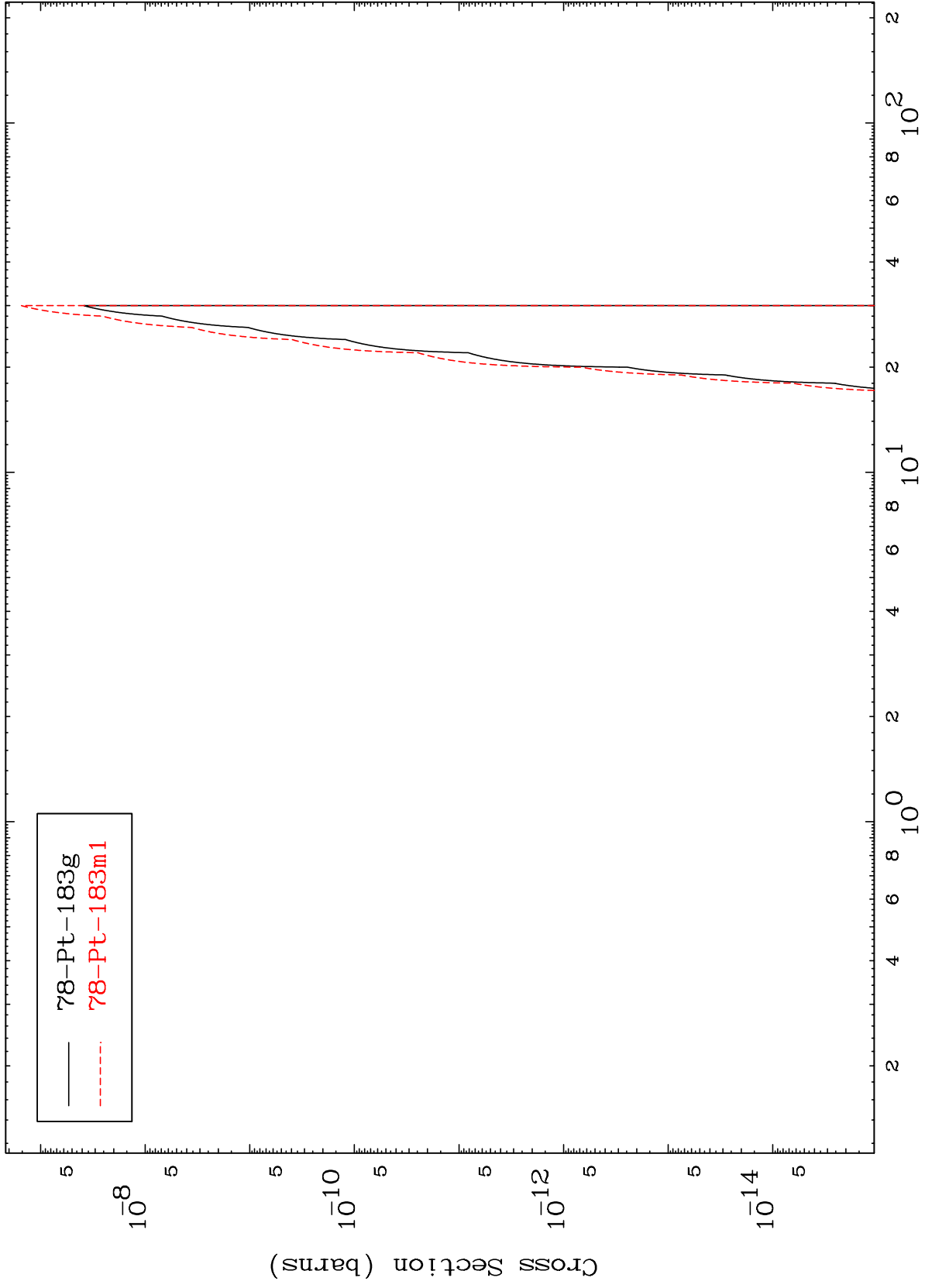
Incident Energy (MeV)

MAT 8089

(n,2n) 2 α

81-Tl-191

Radionuclide Production Cross Section



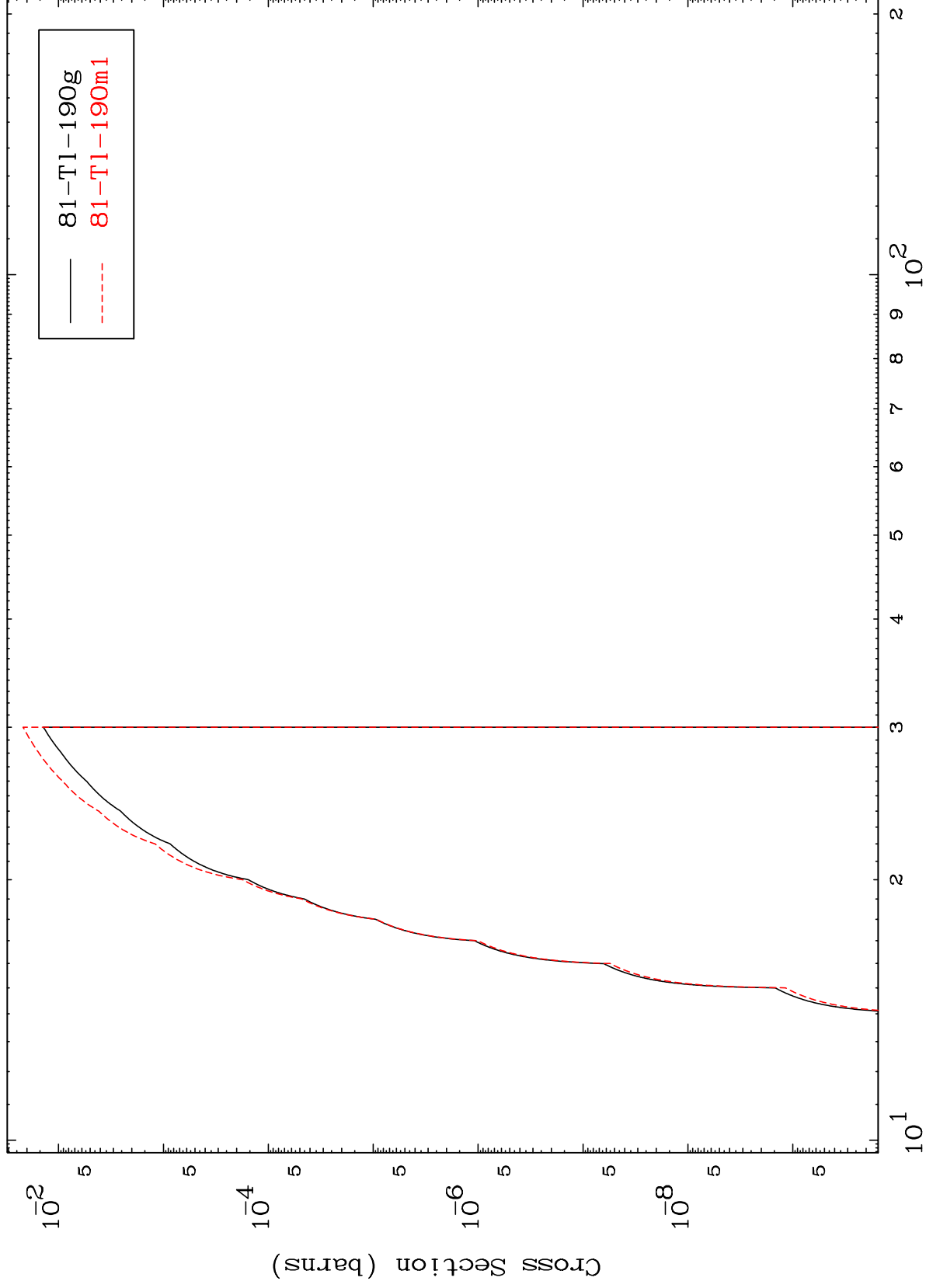
78-Pt-183g
78-Pt-183m1

MAT 8089

(n,n') d

81-Tl-191

Radionuclide Production Cross Section



Incident Energy (MeV)

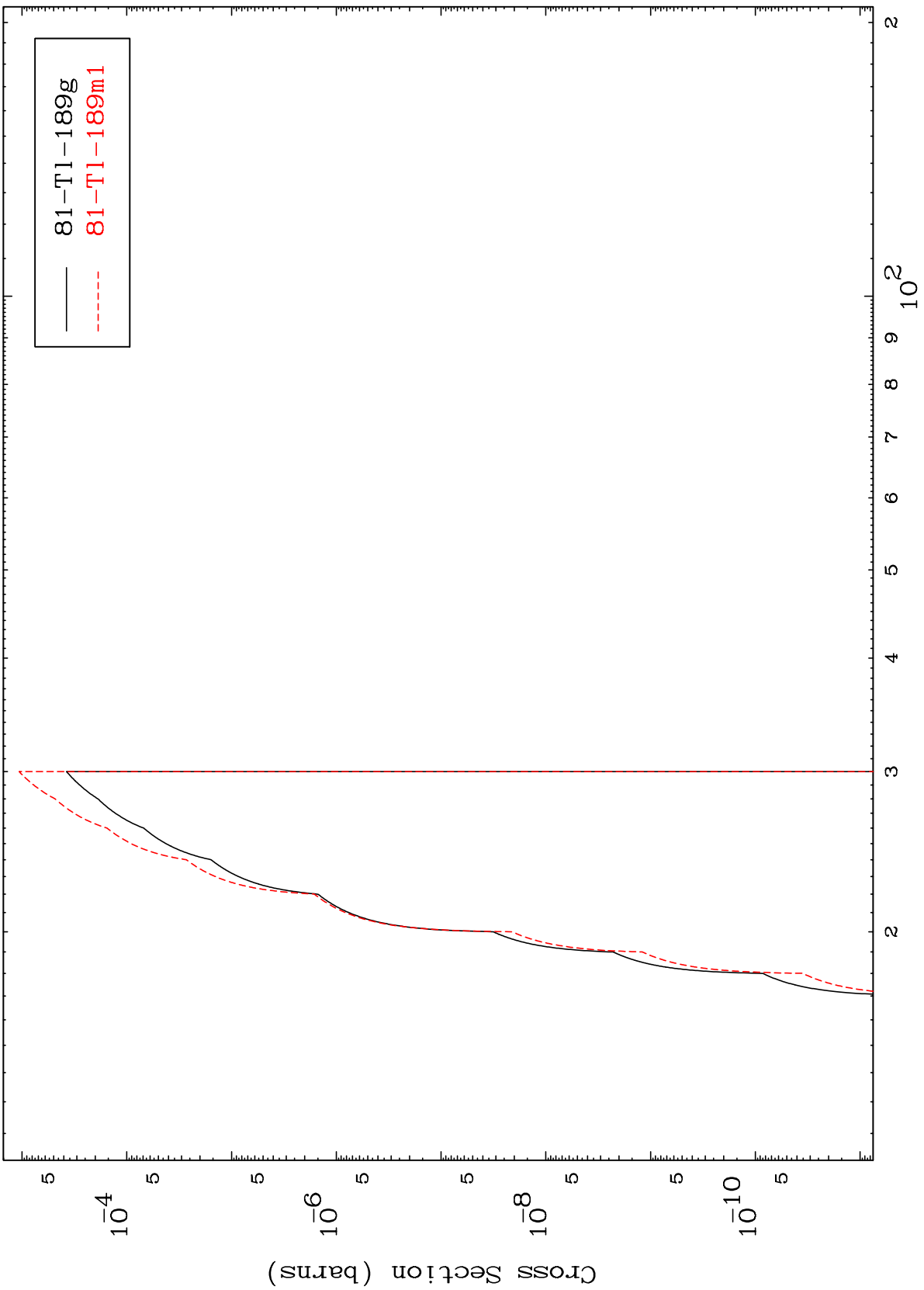
81-Tl-191

MAT 8089

(n,n') t

81-Tl-191

Radionuclide Production Cross Section



20

Incident Energy (MeV)

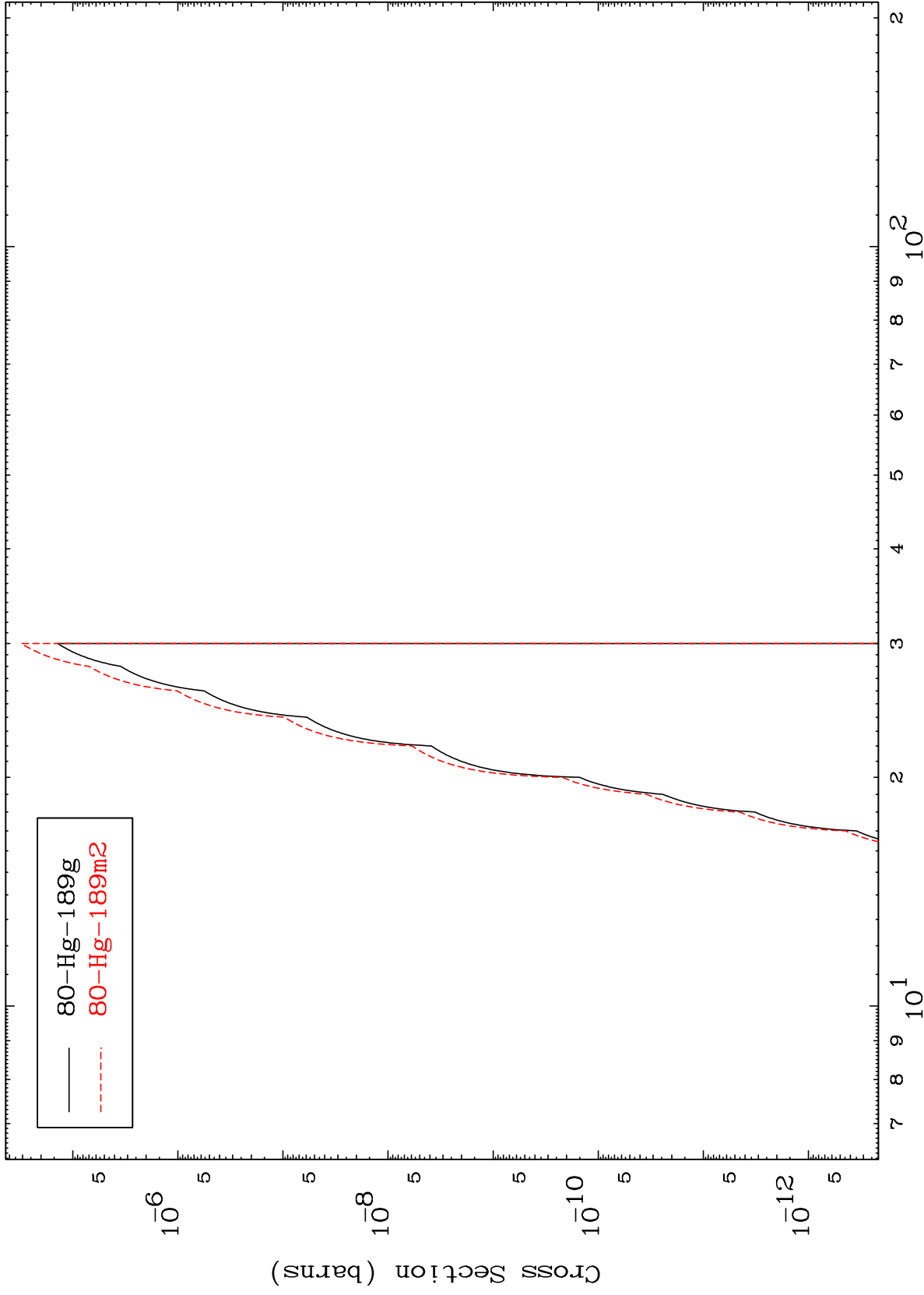
81-Tl-191

MAT 8089

(n,n') He-3

81-Tl-191

Radionuclide Production Cross Section

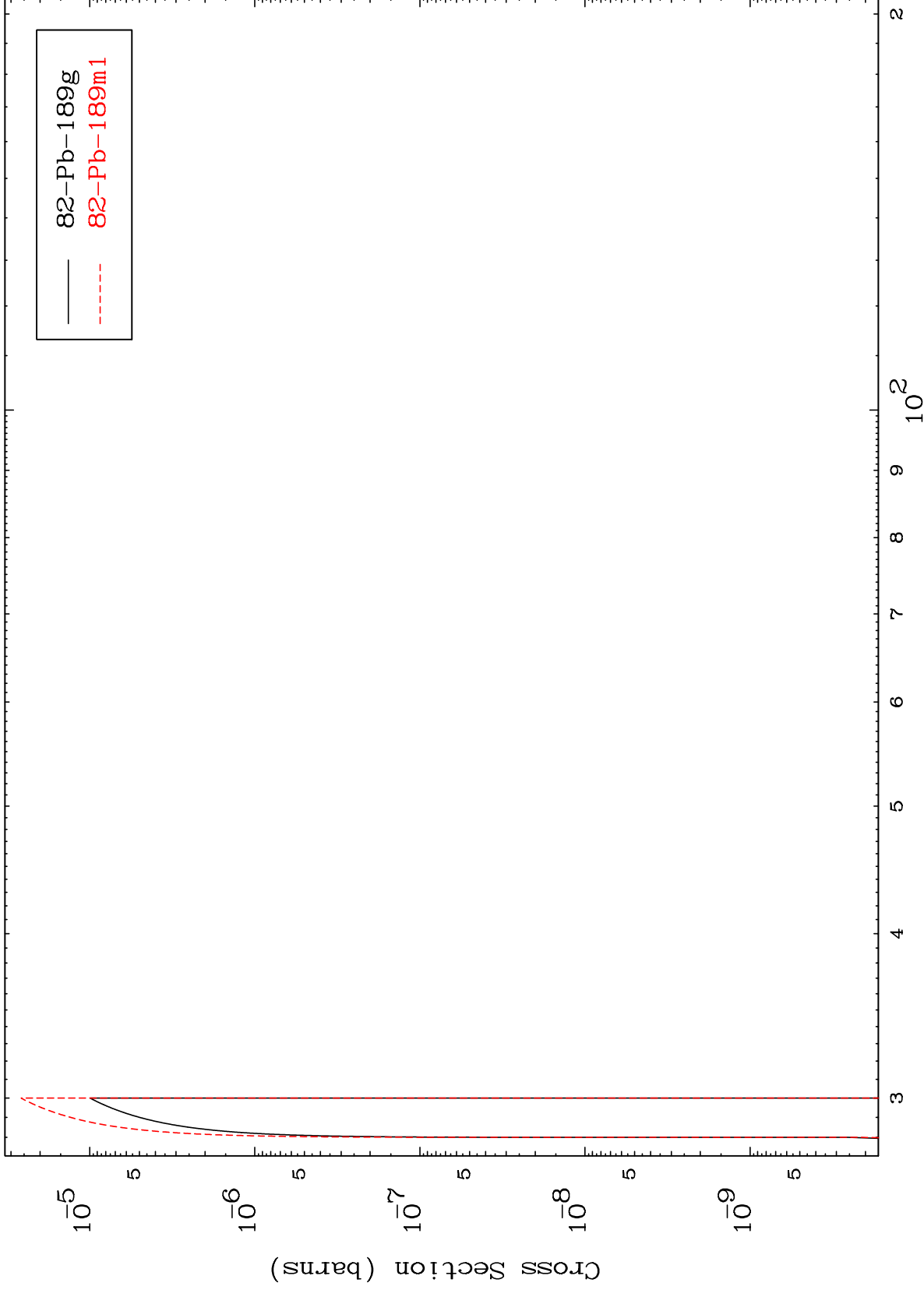


MAT 8089

(n,4n)

81-Tl-191

Radionuclide Production Cross Section

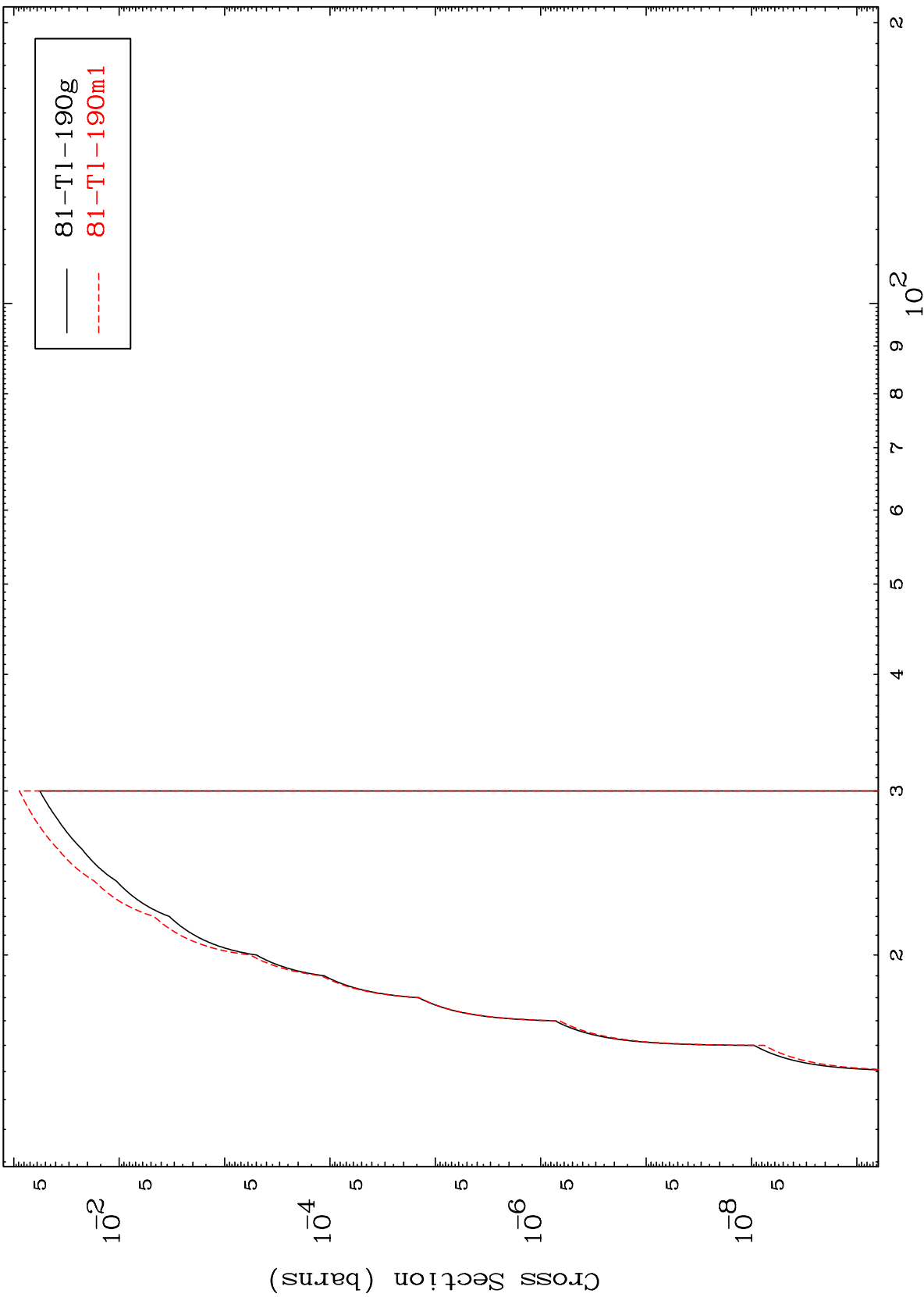


22

Incident Energy (MeV)

81-Tl-191

Radionuclide Production Cross Section



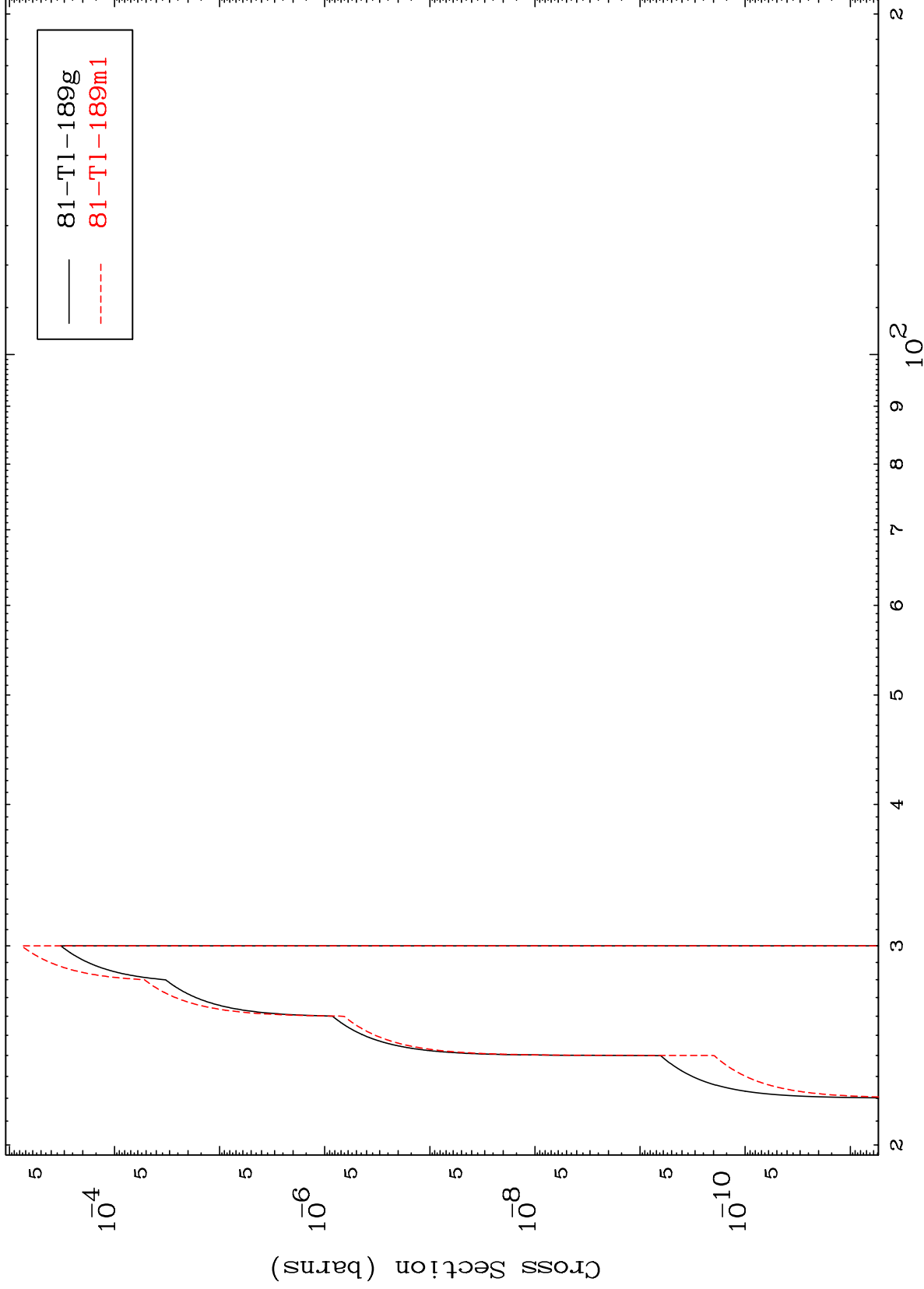
81-Tl-190g
81-Tl-190m1

MAT 8089

(n,3n) p

81-Tl-191

Radionuclide Production Cross Section



24

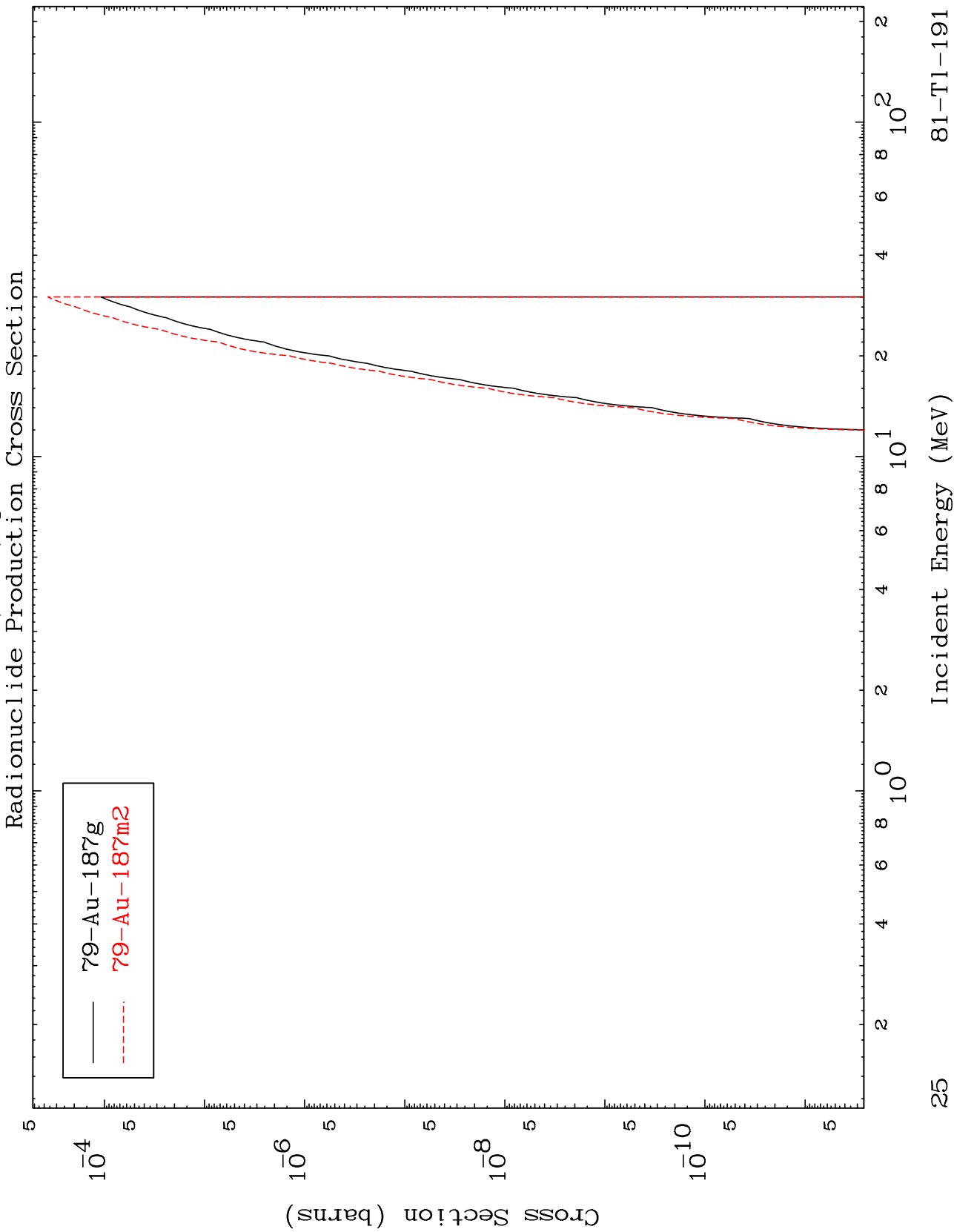
Incident Energy (MeV)

81-Tl-191

MAT 8089

(n,n') p α

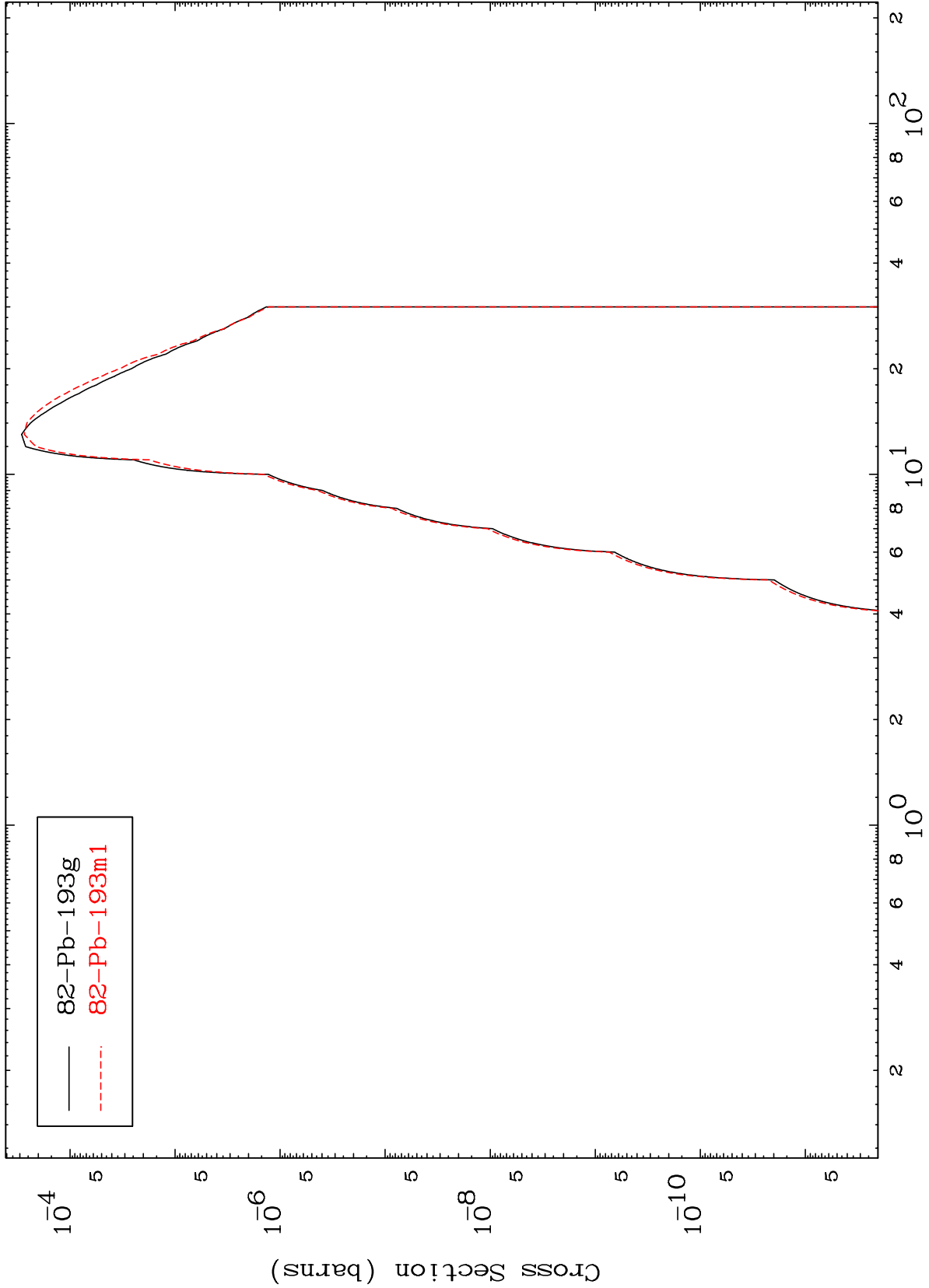
81-Tl-191



MAT 8089

81-Tl-191

(n, γ)
Radionuclide Production Cross Section

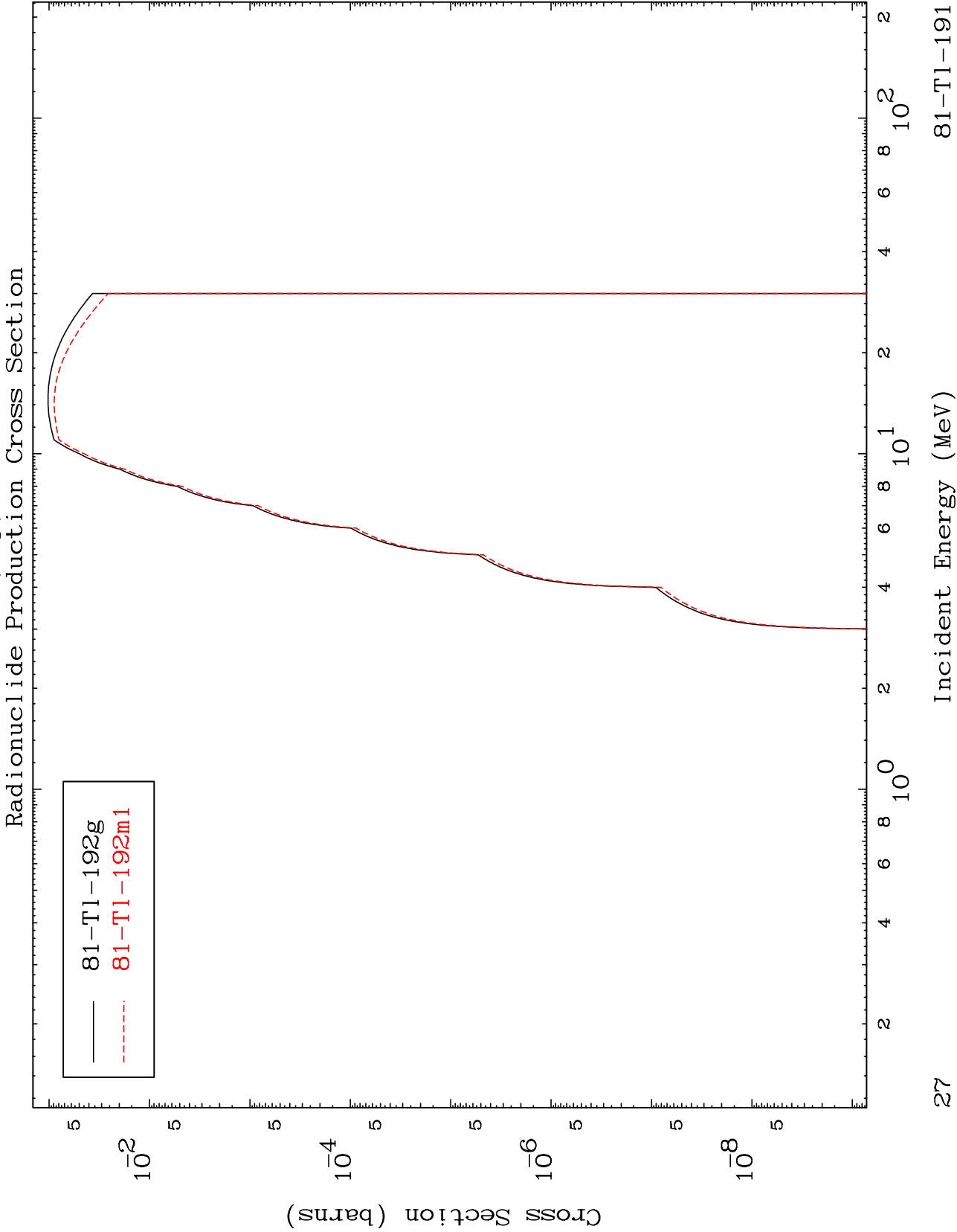


26

81-Tl-191

MAT 8089

81-Tl-191

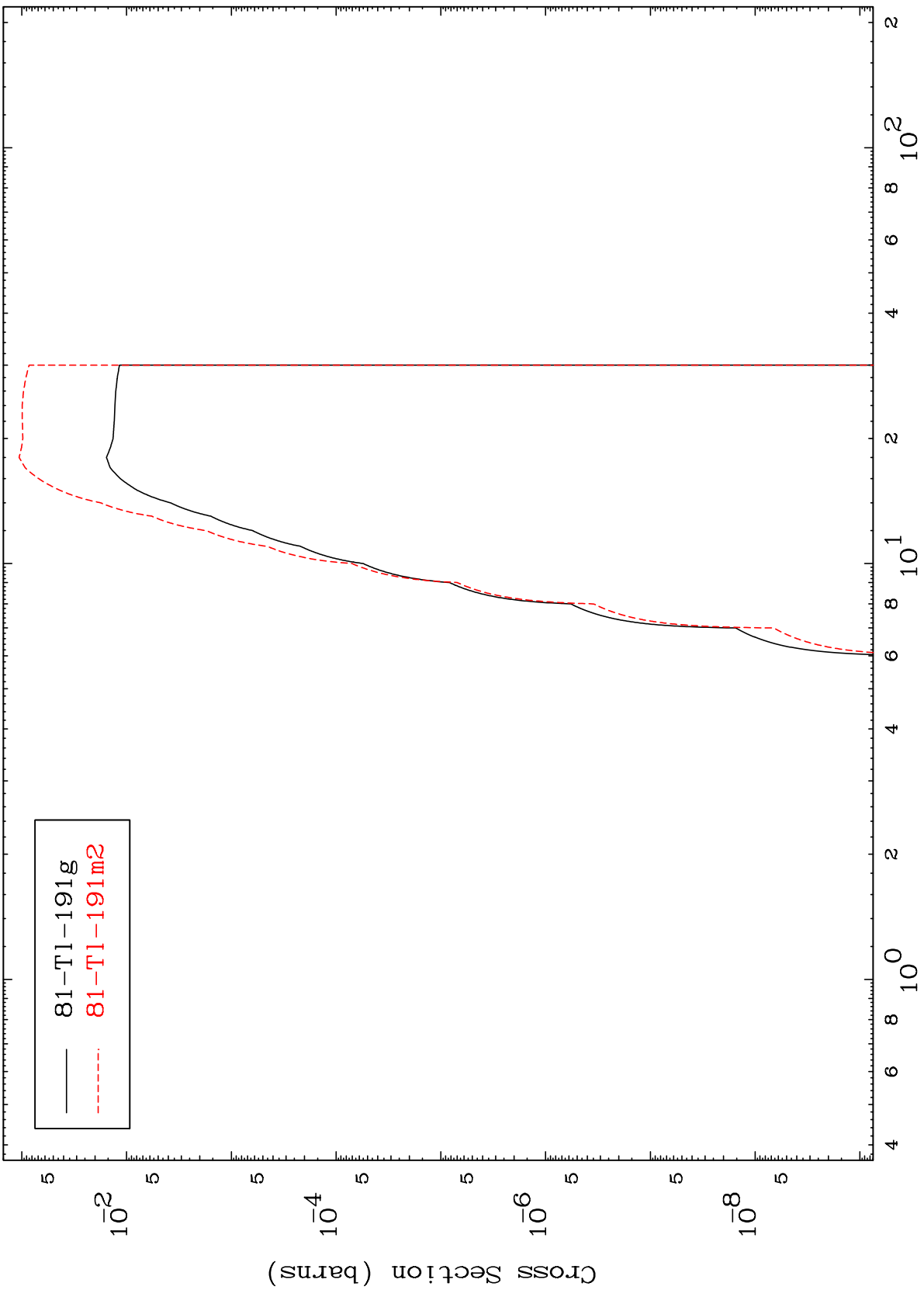


MAT 8089

(n,d)

81-Tl-191

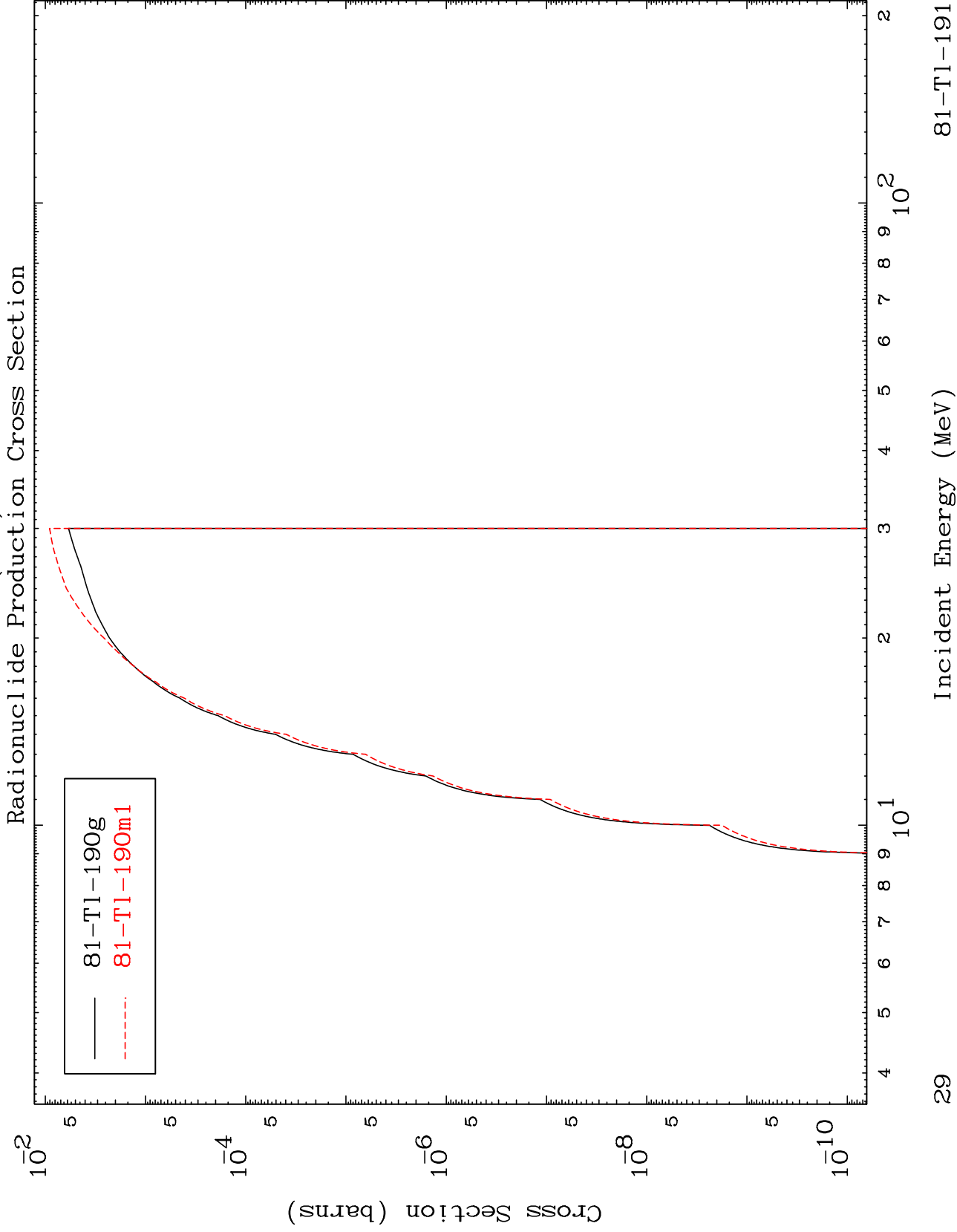
Radionuclide Production Cross Section



81-Tl-191 g
81-Tl-191 m2

MAT 8089

81-Tl-191

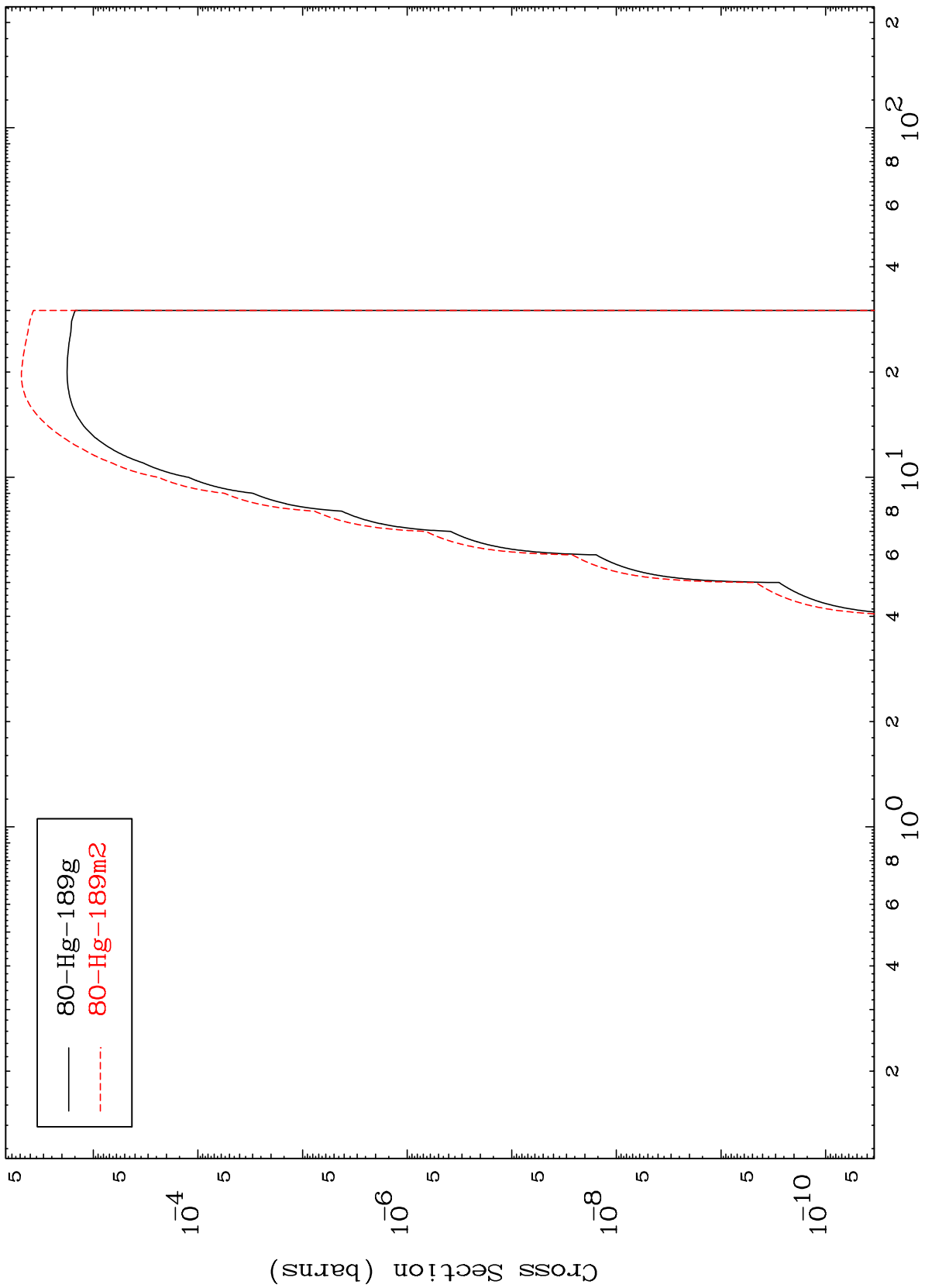


29

MAT 8089

81-Tl-191

(n, α)
Radionuclide Production Cross Section



30

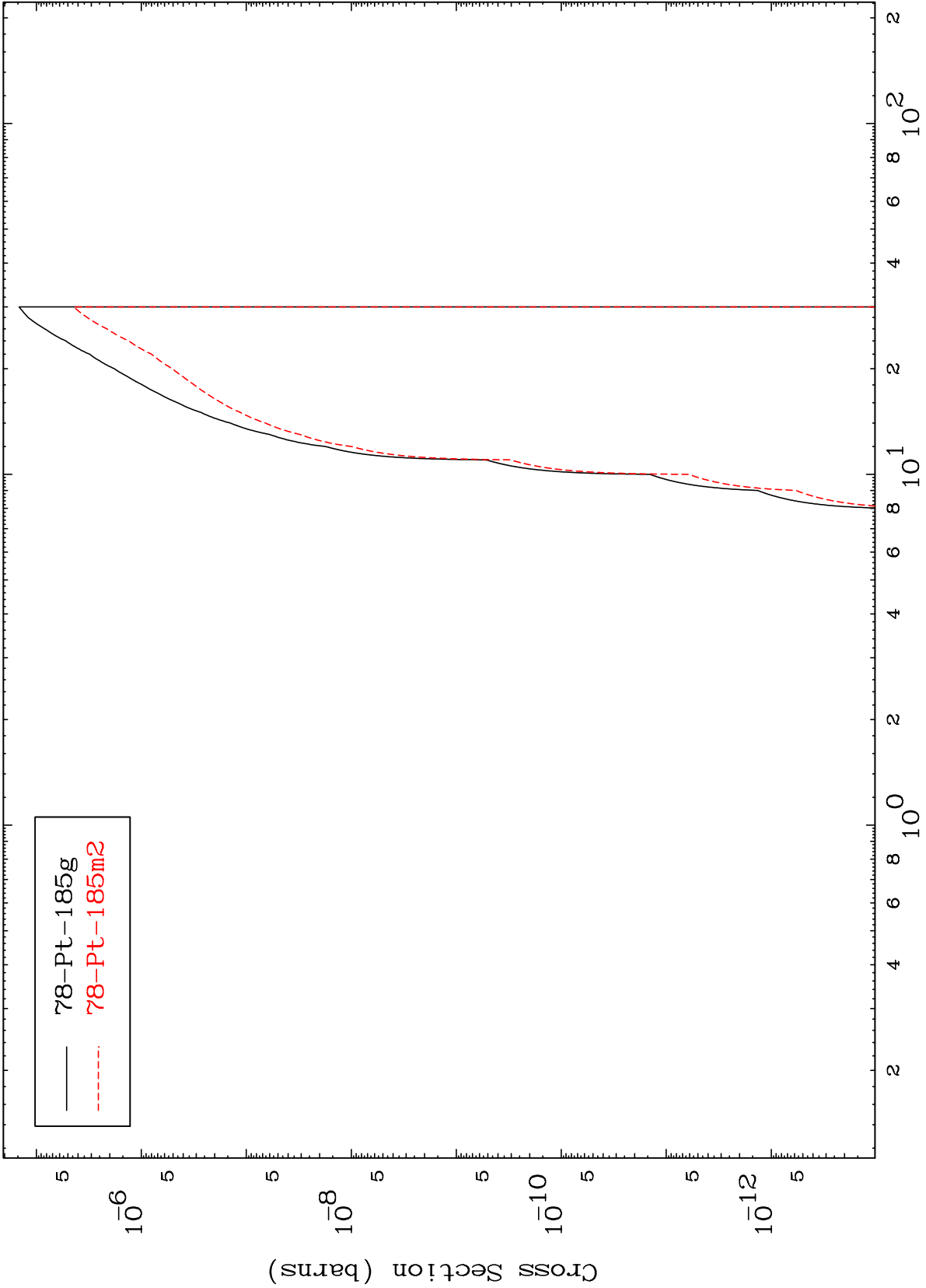
81-Tl-191

MAT 8089

(n,2α)

81-Tl-191

Radionuclide Production Cross Section



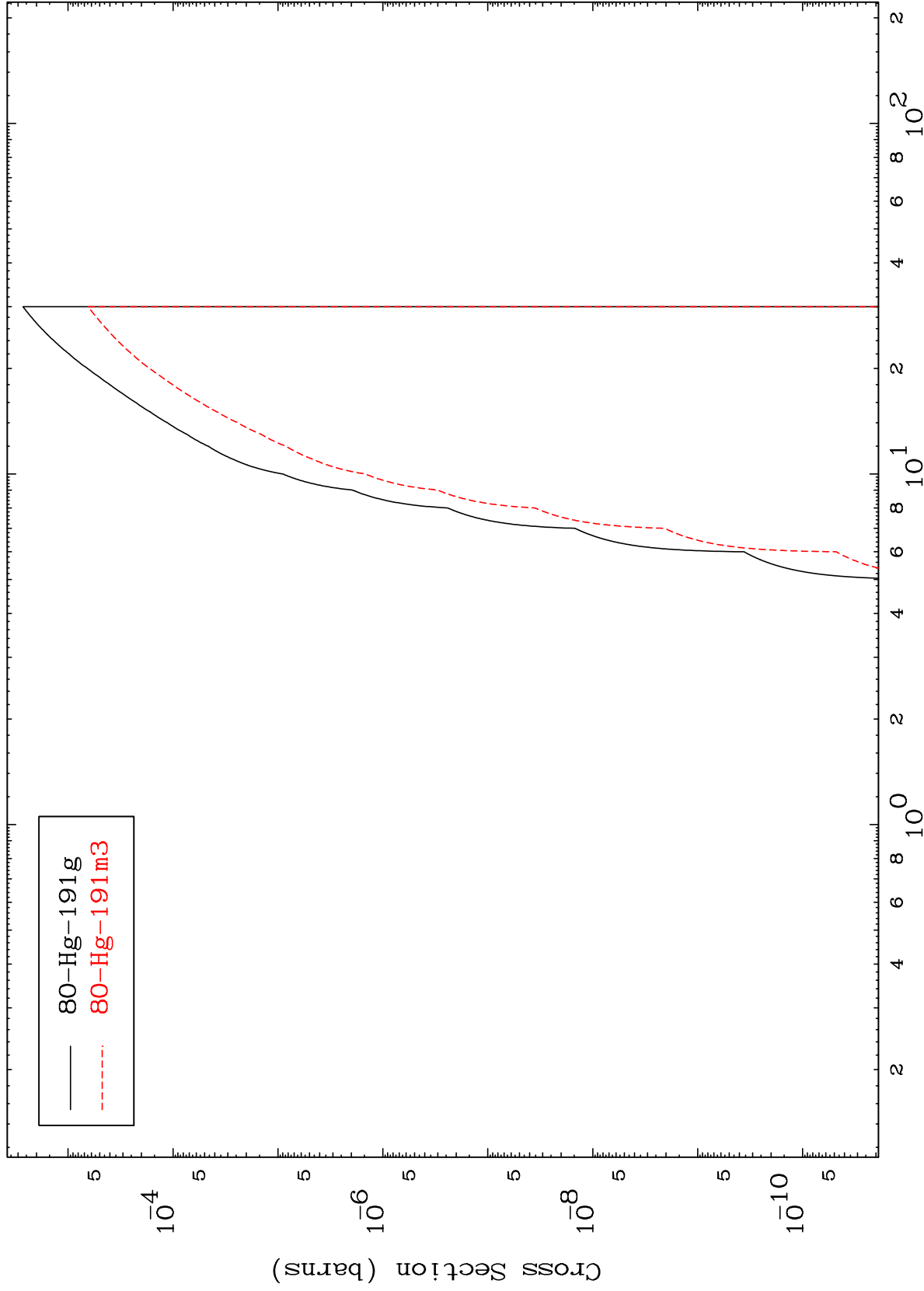
78-Pt-185g
78-Pt-185m2

MAT 8089

(n,2p)

81-Tl-191

Radionuclide Production Cross Section

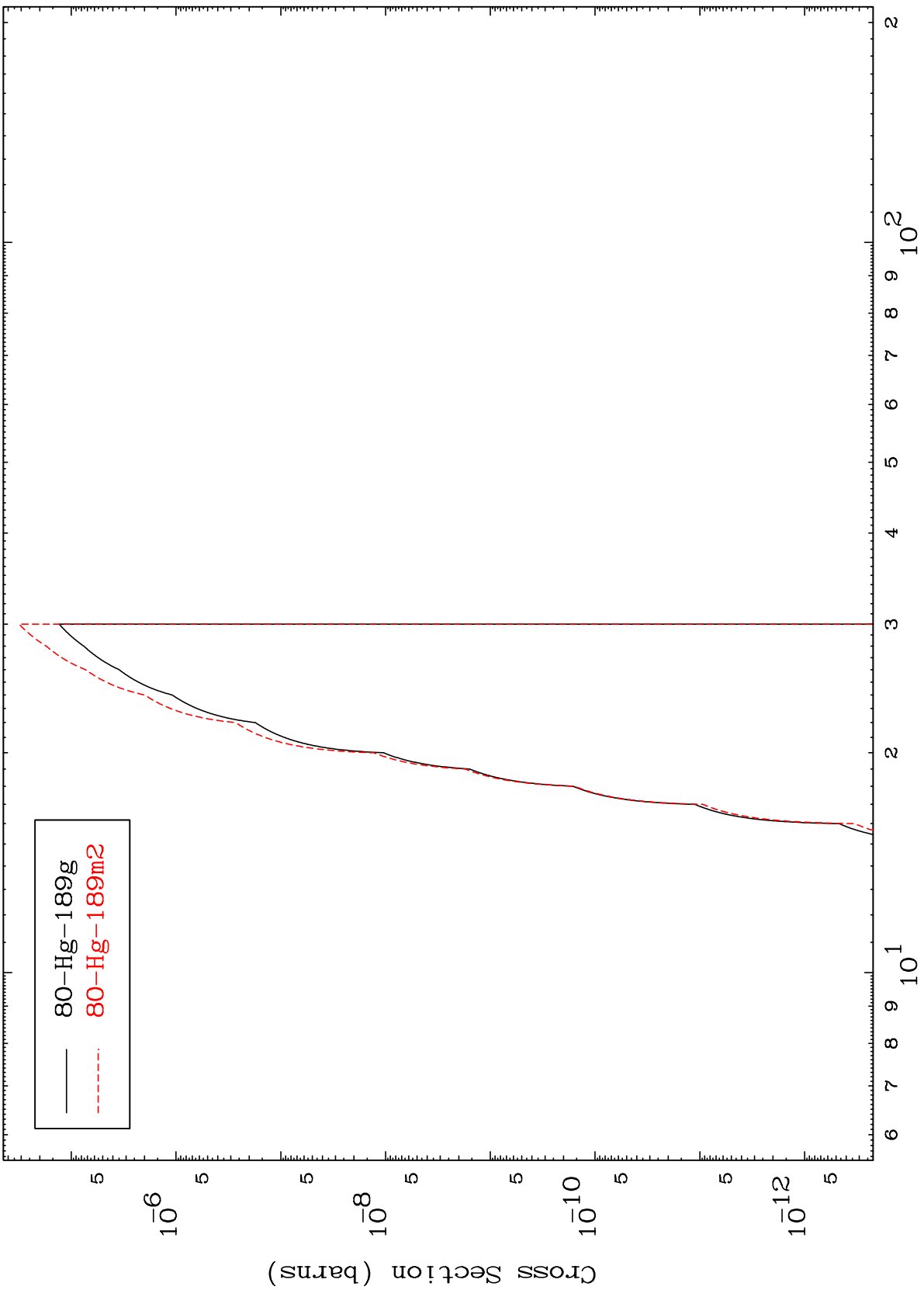


MAT 8089

(n,p) t

81-Tl-191

Radionuclide Production Cross Section



33

Incident Energy (MeV)

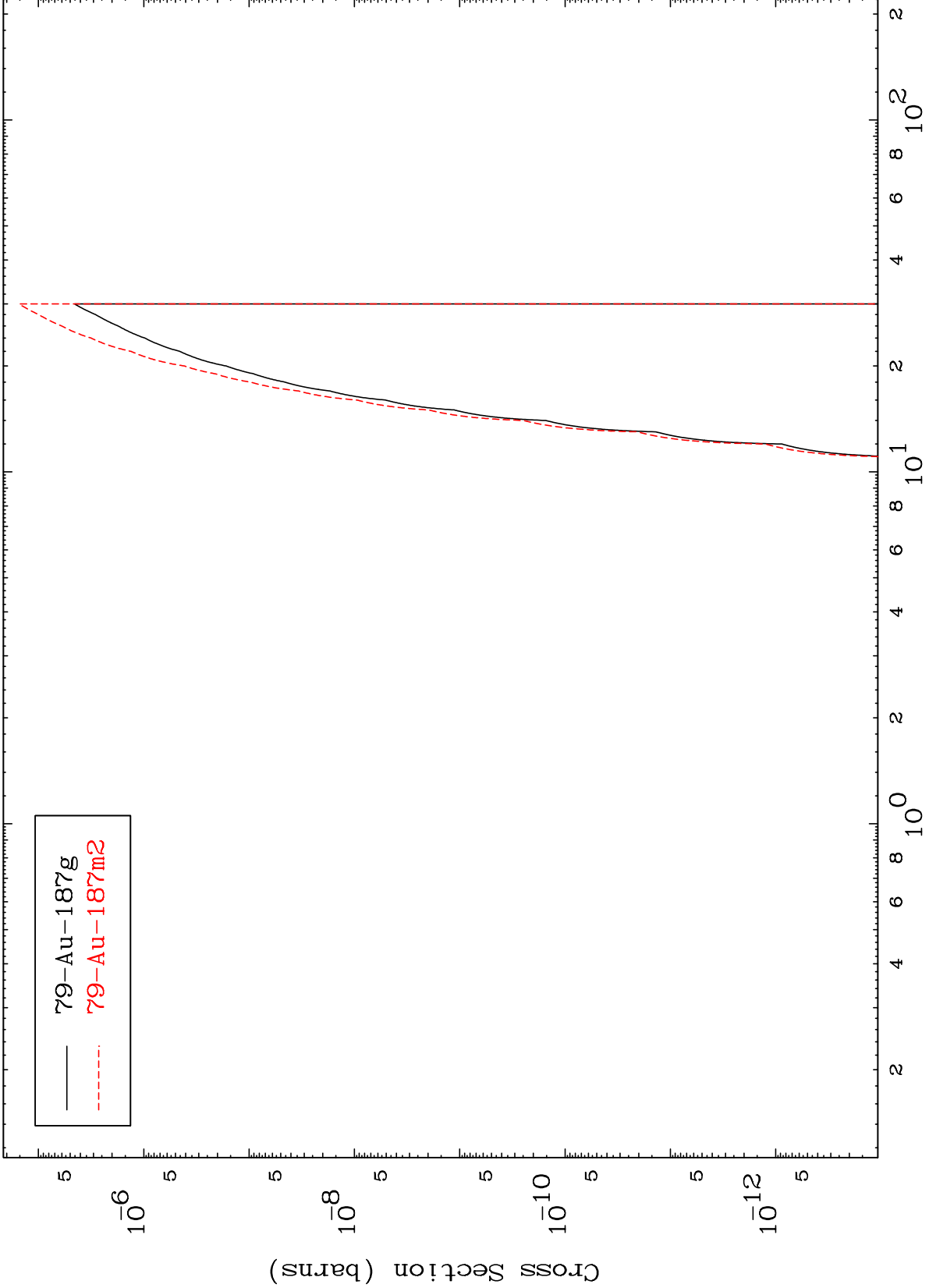
81-Tl-191

MAT 8089

(n,d) α

81-Tl-191

Radionuclide Production Cross Section



— $^{79}\text{Au-187g}$
- - - $^{79}\text{Au-187m2}$